

รายการอ้างอิง

ภาษาไทย

ศุภชัย ใช้เที่ยมวงศ์. ปฏิบัติการเคมีประมวลวิเคราะห์. พิมพ์ครั้งที่ 5. กรุงเทพมหานคร: สำนักพิมพ์จุฬาลงกรณ์มหาวิทยาลัย, 2539.

ภาษาอังกฤษ

Abdul-Majeed, G. H. Liquid holdup in horizontal two-phase gas-liquid flow. Journal of Petroleum Science and Engineering. Vol.15 (1996): 271-280.

Akbar, M. K. and Ghiaasiaan, S. M. Stability of stratified gas-liquid flow in horizontal annular channels. Experimental Thermal and Fluid Science. Vol.28. (2003): 17-21.

American Public Health Association. Methods of Air Sampling and Analysis, 2nd ed. Washington, D.C.: American Public Health Association, 1977.

American Public Health Association. Standard Methods for the Examination of Water and Wastewater, 17th ed. Washington, D.C.: American Public Health Association, 1989.

Bader, H. and Hoigné, J. Determination of ozone in water by indigo method. Water Research. Vol.15. (1981): 449-456.

Bird, R. B., Stewart, W. E., and Lightfoot, E. N. Transport Phenomena. New York: John Wiley & Sons, 1960.

Butterworth, D. and Hewitt G.F. Two-Phase Flow and Heat Transfer. London: Oxford, 1977.

Chang, B. J., and Chian, E. S. K. A model study of ozone-sparged vessels for the removal of organics from water. Water Research. Vol.15. No.7. (1981): 929-936.

Darby, R. Chemical Engineering Fluid Mechanics. 2nd ed. New York: Marcel Dekker, 2001.

Evans III, F. L., ed. Ozone in Water and Wastewater Treatment. Michigan: Ann Arbor Science, 1972.

Farines, V., Baig, S., Albet, J., Molinier, J., and Legay, C. Ozone transfer from gas to water in a co-current upflow packed bed reactor containing siliga gel. Chemical Engineering Journal. Vol.91 (2003): 67-73.

- Gottschalk, C., Libra, J. A., and Saupe, A. Ozonation of Water and WasteWater. Weinheim: Wiley-VCH, 2000.
- Heyouni, A., Roustan, M., and Do-Quang, Z. Hydrodynamics and mass transfer in gas-liquid flow through static mixers. Chemical Engineering Science. Vol.57 (2002):3325-3333.
- Hsu, Y. C., Chen, T. Y., Chen, J. H., and Lay C. W. Ozone transfer into water in a gas inducing reactor. Industrial & Engineering Chemistry Research. Vol.41. (2002): 120-127.
- Hsu, Y. C. and Huang, C. J. Ozone transfer with optimal design of a new gas-induced reactor. AIChE Journal. Vol.43. No.9. (1997):2336-2342.
- Langlais, B.; Reckhow, D. A., and Brink, D. R. Ozone in Water Treatment: Application and Engineering. Michigan: Lewis, 1991.
- Le Sauze, N., Laplanche, A., Martin, N., and Martin, G. Modeling of ozone transfer in a bubble column. Water Research. Vol.27. No.6. (June 1993): 1071-1083.
- Lev, O., and Regli, S. Evaluation of ozone disinfection systems: Characteristic concentration C. Journal of Environmental Engineering. Vol.118. No.4. (1992): 477-494.
- Lewis, S., Fu, W. L., and Kojasoy, G. Internal flow structure description of slug flow pattern in a horizontal pipe. International Journal of Heat and Mass Transfer. Vol.45. No.19. (2002): 3897-3910.
- Lun, I., Calay, R. K., and Holdo, A. E. Modelling two-phase flows using CFD. Applied Energy. Vol.53. (1996): 299-314.
- Macabe, W. L., Smith, J. C., and Harriott, P. Unit Operations of Chemical Engineering, 5th ed. New York: McGraw-Hill, 1993.
- Morioka, T., Kato, Y., Hoshikawa, H., Okada, M., and Moniwa, T. Study of the reactor with down-flow injection on the characteristics of ozonation. Water Science and Technology. Vol.36. No.12. (1997): 367-374.
- Peleg, M. The chemistry of ozone in the treatment of water. Water Research Vol.10. (1976): 361-365.
- Perry, R. H., and Chilton, C. H. Perry's Chemical Engineers' Handbook. 6th ed. New York: McGraw-Hill, 1984.

- Reineche, N., Petritsch, G., Boddem, M. and Mewes, D. Tomographic imaging of the phase distribution in two-phase slug flow. International Journal of Multiphase Flow. Vol.24. No.4. (1998): 617-634.
- Rice, G. R., Bollyky, L. J., and Lacy, W. J. Analytical Aspects of Ozone Treatment of Water and Wastewater. Michigan: Lewis, 1986.
- Sharma, S., Lewis, S., and Kojasoy, G. Local studies in horizontal gas-liquid slug flow. Nuclear Engineering and Design. Vol.184. (1998): 305-318.
- Shechter, H. Spectrophotometric method for determination of ozone in aqueous solutions. Water Research. Vol.7 (1973):729-739.
- Skelland, A. H. P. Diffusion Mass Transfer. New York: John Wiley & Sons, 1974.
- Spedding, P. L. Prediction in stratified gas-liquid co-current flow in horizontal pipelines. International Journal of Heat and Mass Transfer. Vol.40. No.8. (1997): 1923-1935.
- Sotelo, J. L., Beltran, F. J., Benitez, F. J., and Beltran-Heredia, J. Henry's law constant for the ozone-water system. Water Research. Vol.23. No.10. (1989): 1239-1246.
- Treybal, R. E. Mass-transfer Operations. 2nd ed. New York: McGraw-Hill, 1968.
- Tribbe, C. and Müller-Steinhagen, H. M. An evaluation of the performance of phenomenological models for predicting pressure gradient during gas-liquid flow in horizontal pipelines. International Journal of Multiphase Flow. Vol.26. (2000): 1019-1036.
- Yaws, C. L. Chemical Properties Handbook: Physical, Thermodynamic, Environmental, Transport, Safety, and Health Related Properties for Organic and Inorganic Chemicals. New York: McGraw-Hill, 1999.
- Wong, T. N., and Yau, Y. K. Flow patterns in two-phase air-water flow. International Communications in Heat and Mass Transfer. Vol.24. No.1. (1997): 111-118.
- Zhou, H., and Smith, D. W. Ozone mass transfer in water and wastewater treatment: Experimental observations using a 2D laser particle dynamics analyzer. Water Research. Vol.34. No.3. (2000): 909-921.
- Zhou, H., Smith, D. W., and Stanley, S. J. Modeling of dissolved ozone concentration profiles in bubble columns. Journal of Environmental Engineering-ASCE. Vol.120. No.4. (1994): 821-840.

Zürcher, O., Favrat, D., and Thome, J.R. Development of a diabatic two-phase flow pattern map for horizontal flow boiling. International Journal of Heat and Mass Transfer. Vol.45. No.2 (2002): 291-301.





ภาคนวก

ศูนย์วิทยทรัพยากร
จุฬาลงกรณ์มหาวิทยาลัย



ภาคผนวก ก
การเตรียมสารตัวอย่างที่ใช้ในการทดลอง

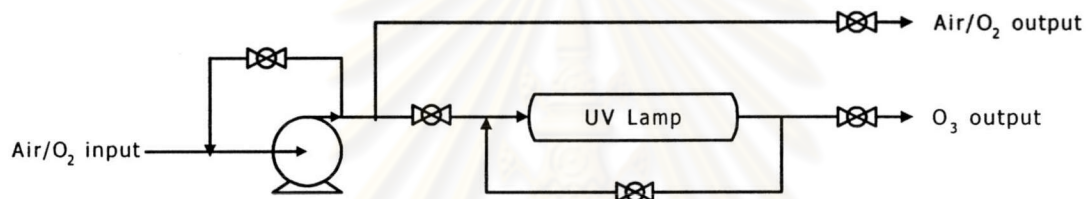
ศูนย์วิทยทรัพยากร
จุฬาลงกรณ์มหาวิทยาลัย

ภาคผนวก ก

การเตรียมสารตัวอย่างที่ใช้ในการทดลอง

1. การเตรียมก๊าซไอโชน

ก๊าซไอโชนที่ใช้ในการทดลองเตรียมโดยผ่านอากาศหรือก๊าซออกซิเจนไปยังเครื่องผลิตไอโชนของบริษัท Cygnus International โดยดัดแปลงให้สามารถปรับอัตราการไหลก๊าซในสายต่างๆได้ ดังแสดงในแผนผังรูปที่ ก.1



รูปที่ ก.1 แผนผังเครื่องผลิตไอโชนที่ใช้ในการทดลอง

2. ก๊าซออกซิเจน

ก๊าซออกซิเจนที่ใช้ในการทดลองเป็นออกซิเจนบริสุทธิ์ 99.8% ของบริษัท TIG

3. น้ำกลั่น

น้ำกลั่นที่ใช้ในการทดลองผลิตโดยศูนย์เครื่องมือวิเคราะห์ ภาควิชาวิศวกรรมเคมี คณะวิศวกรรมศาสตร์ จุฬาลงกรณ์มหาวิทยาลัย



ภาคผนวก ๖
การวิเคราะห์ปริมาณโอลิซน

ศูนย์วิทยทรัพยากร
จุฬาลงกรณ์มหาวิทยาลัย

ภาคผนวก ข

การวิเคราะห์ปริมาณโอโซน

ข.1 การวิเคราะห์ปริมาณโอโซนในก๊าซด้วยวิธี方法ปริมาณความต้องการโอโซน (Ozone Demand: Semi-Batch method) [APHA., 1989]

การวิเคราะห์ปริมาณโอโซนในก๊าซด้วยวิธี方法ปริมาณความต้องการโอโซน เป็นการวิเคราะห์ปริมาณโอโซนในก๊าซโดยการผ่านก๊าซตัวอย่างลงในสารละลายไปแทนเชี่ยมไอโอดีด จากนั้นนำสารละลายมาที่เทรตกับสารละลายโซเดียมไทโอลัลเฟตมารถรูน เพื่อนำมาเทียบหาปริมาณโอโซน

1. หลักการพื้นฐาน (Principle of the Method)

วิธีการแบบกึ่งกํา (semi-batch) เป็นการวิเคราะห์ปริมาณโอโซนโดยการผ่านก๊าซที่ต้องการวัดไปยังขวดเก็บก๊าซตัวอย่างที่บรรจุสารละลายไปแทนเชี่ยมไอโอดีด

2. ความแม่นยำและเที่ยงตรงในการวัด (Precision and Accuracy)

ค่าความแม่นยำของการวัดด้วยวิธีนี้ขึ้นอยู่กับความสามารถในการถ่ายเทมวลของโอโซนเข้าทำปฏิกิริยากับสารละลายไปแทนเชี่ยมไอโอดีด และปริมาณโอโซนที่ถูกดักจับ โอโซนที่ถูกดักจับควรมีปริมาณมากพอสมควร เพื่อลดค่าความแปรปรวนของข้อมูล

3. จุดเด่นและจุดด้อย (Advantages and Disadvantages)

วิธีนี้มีจุดเด่นคือสามารถดักจับก๊าซโอโซนได้เกือบทั้งหมด แต่มีข้อด้อยคือต้องใช้สารเคมีปริมาณมากเพื่อดักจับก๊าซโอโซน และใช้เวลาในการวิเคราะห์ค่อนข้างนาน

4. เครื่องมือและอุปกรณ์ (Apparatus)

4.1 อุปกรณ์เก็บตัวอย่าง

- 4.1.1 ขวดเก็บตัวอย่างก๊าซที่สามารถบรรจุสารละลายได้มากกว่า 200 มิลลิลิตร
- 4.1.2 ท่อแก้ว
- 4.1.3 ปั๊มอากาศ
- 4.1.4 อุปกรณ์วัดอัตราการไหลของก๊าซ

- 4.1.5 เทอร์โมมิเตอร์
- 4.1.6 манอยมิเตอร์
- 4.1.7 นาฬิกาจับเวลา
- 4.2 เครื่องแก้ว

5. สารเคมี (Reagents)

- 5.1 น้ำบริสุทธิ์ที่ปราศจากความต้องการออกไซด์ (Ozone-demand-free water)
เตรียมโดยพ่นก๊าซไนโตรเจนลงในน้ำที่ต้องการเป็นระยะเวลาอย่างน้อย 1 ชั่วโมง
- 5.2 กรดซัลฟูริกเข้มข้น 2N (Sulfuric acid, H_2SO_4 , 2N)
เตรียมโดยเจือจางกรดซัลฟูริกเข้มข้น 56 มิลลิลิตรในน้ำกลันให้ได้ปริมาตร 1 ลิตร
- 5.3 สารละลายโปแทสเซียมไอโอดไรด์ (Potassium iodide, KI)
เตรียมโดยละลายโปแทสเซียมไอโอดไรด์ 20 กรัมในน้ำให้ได้ปริมาตร 1 ลิตร
- 5.4 สารละลายโซเดียมไอกอชัลเฟตมาตรฐานเข้มข้น 0.1N (Standard sodium thiosulfate titrant, $Na_2S_2O_3$, 0.1N)
ละลายโซเดียมไอกอชัลเฟต ($Na_2S_2O_3 \cdot 5H_2O$) 25 กรัม ในน้ำกลันที่กำลังเตือนปริมาตร 1 ลิตร ทึ้งไว้อย่างน้อยสองสัปดาห์ก่อนนำมาใช้งาน โดยก่อนใช้งานต้องนำมาหาค่าความเข้มข้นที่แน่นอนก่อนด้วยกราฟิกที่ได้จากการทดสอบสารละลายโปแทสเซียมไบไอโอดีต ($KH(IO_3)_2$) หรือ โนปแทสเซียมไดโครเมต ($K_2Cr_2O_7$) เข้มข้น 0.1000N
สารละลายโปแทสเซียมไดโครเมตเข้มข้น 0.1000N ที่นำมาหาค่าความเข้มข้น เตรียมได้โดยละลายโปแทสเซียมไดโครเมตแอนไฮดรัส ($K_2Cr_2O_7$) 4.904 กรัม ในน้ำกลันให้ได้ปริมาตร 1 ลิตร เก็บในขวดแก้ว (glass stoppered bottle)
- 5.5 สารละลายโซเดียมไอกอชัลเฟตมาตรฐานเข้มข้น 0.005N (Standard sodium thiosulfate titrant, $Na_2S_2O_3$, 0.005N)
เจือจางสารละลายโซเดียมไอกอชัลเฟตมาตรฐานเข้มข้น 0.1N ปริมาตร 50 มิลลิลิตร ให้เป็นปริมาตร 1 ลิตร
- 5.6 สารละลายแป้ง (Starch indicator solution)
ผักกาดขาว (แป้งมันผั่ง, arrowroot หรือ soluble starch) 5 กรัมกับน้ำเย็นเล็กน้อย บดจนละเอียด จากนั้นเทลงในน้ำกลันปริมาตร 1 ลิตรที่กำลังเตือน คนให้เข้ากัน ตั้งทึ้งไว้ข้างคืน แยกมาเฉพาะสารละลายใสส่วนบน โดยเติมกรดซาลิไซลิก 1.25 กรัมหรือ ซิงค์คลอไรด์ 4 กรัม เพื่อยืดอายุการใช้งานของสารละลายนี้

6. การเทียบวัด (Calibration)

เติมกรดซัลฟูริกเข้มข้น 1 มิลลิลิตร, สารละลายโปแทสเซียมไอกอโรเมทเข้มข้น 0.1000N 10 มิลลิลิตร และโปแทสเซียมไอโอดีด์ 1 กรัมลงในน้ำกลั่น 80 มิลลิลิตรโดยต้องคนสารละลายอย่างต่อเนื่องขณะเติม ทิ้งไว้ 6 นาทีในที่มีดแล้วนำมายกเทเรตด้วยสารละลายโซเดียมไทโอลซัลเฟตเข้มข้น 0.1N จนสีเหลืองของไอโอดีนจากลงจนเกือบหายไป จากนั้นเติมสารละลายแป้ง (starch indicator solution) 1 มิลลิลิตรและไทเทเรตต่อจนสีน้ำเงินหายไป ความเข้มข้นของสารละลายโซเดียมไทโอลซัลเฟตเป็นไปตามสมการ ข.1 ดังนี้

$$\text{Normality } Na_2S_2O_3 = \frac{1}{mL \ Na_2S_2O_3 \ consumed} \quad \text{ข.1}$$

7. ขั้นตอนการปฏิบัติ (Procedure)

7.1 ล้างอุปกรณ์ด้วยน้ำสะอาดและน้ำกลั่น

7.2 การเก็บก้าชตัวอย่าง

7.2.1 ใส่สารละลายโปแทสเซียมไอโอดีด์เข้มข้น 2% ปริมาตร 200 มิลลิลิตรลงในขวดเก็บตัวอย่างก้าช

7.2.2 ต่อขวดเก็บตัวอย่างก้าชเข้ากับระบบที่ทำการทดลอง จากนั้นปล่อยก้าชผ่านขวดเก็บตัวอย่าง วัดอัตราการไหลและเวลาที่ใช้

7.2.3 เทสารละลายในขวดเก็บตัวอย่างก้าชลงในขวดรูปชามพู่

7.2.4 เติมกรดซัลฟูริกเข้มข้น 2N ปริมาตร 10 มิลลิลิตร

7.2.5 ไทเทเรตกับสารละลายโซเดียมไทโอลซัลเฟตมาตรฐาน 0.005N จนสีเหลืองของไอโอดีนจากลงจนเกือบหายไป จากนั้นเติมสารละลายแป้ง (starch indicator solution) 2 มิลลิลิตรและไทเทเรตต่อจนสีน้ำเงินหายไป

7.3 คำนวนหาปริมาณโซโนน

8. การคำนวน (Calculation)

คำนวนหาปริมาณโซโนนในหน่วยมิลลิกรัมต่อน้ำที่ได้ด้วยสมการ ข.2 ดังตัวอย่างในภาคผนวก ง.1

$$Ozone, \text{mg / min} = \frac{(A + B) * N * 2400}{T} \quad \text{¶.2}$$

โดย

A = mL titrant for Trap A

B = mL titrant for Trap B

N = normality of $Na_2S_2O_3$

T = ozonation time, min

ศูนย์วิทยทรัพยากร
จุฬาลงกรณ์มหาวิทยาลัย

ข.2 การวิเคราะห์ปริมาณโอดีโซนในน้ำด้วยวิธีอินดิโกโคโลริเมต릭 (Indigo Colorimetric) [APHA., 1989]

การวิเคราะห์ปริมาณโอดีโซนในน้ำด้วยวิธีอินดิโกโคโลริเมต릭 เป็นการวัดปริมาณโอดีโซนในน้ำโดยอาศัยปฏิกิริยาเคมีระหว่างโอดีโซนกับสารละลายอินดิโก (indigo) ซึ่งจะทำให้สีของสารละลายอินดิโกเปลี่ยนไป จากนั้นทำการวิเคราะห์ปริมาณโอดีโซนโดยเทียบกับสีของสารละลายด้วยการใช้เครื่องวัดค่าการดูดกลืนแสง

1. หลักการพื้นฐาน (Principle of the Method)

โอดีโซนจะทำให้สีของอินดิโก (indigo) จางลงอย่างรวดเร็วในสารละลายที่เป็นกรด โดยสามารถวัดได้จากการดูดกลืนแสงที่ลดลงเป็นสัดส่วนตามความเข้มข้นของโอดีโซนที่เพิ่มขึ้น ค่าคงที่ของสัดส่วนการเปลี่ยนแปลงที่ความยาวคลื่น 600 นาโนเมตรมีค่า 0.42 ± 0.01 ต่อ เชนติเมตรต่อมิลลิกรัมต่อลิตร ($/\text{cm}/\text{mg}/\text{L}$) ($\Delta E = 20000/\text{M.cm}$) เปรียบเทียบกับค่าการดูดกลืนแสงช่วงอัลตราไวโอดอกลุ่มโอดีโซนบริสุทธิ์ที่ $E = 2950/\text{M.cm}$ ที่ความยาวคลื่น 258 นาโนเมตร

2. ขอบเขตในการใช้งานและความไว (Range and Sensitivity)

ความเข้มข้นต่ำสุดที่สามารถวัดได้ด้วยการใช้เครื่องวัดค่าการดูดกลืนแสง คือ 2 ไมโครกรัมโอดีโซนต่อลิตร แต่ถ้าใช้สายตาในการสังเกตจะสามารถวัดได้เพียง 10 ไมโครกรัม โอดีโซนต่อลิตร

3. สิ่งรบกวนระบบ (Interferences)

ไฮโดรเจนเปอร์ออกไซด์ (H_2O_2) และเปอร์ออกไซด์ของสารอินทรีย์จะลดสีของสารละลาย indigo ได้อย่างช้าๆ ไฮโดรเจนเปอร์ออกไซด์จะมีรบกวนระบบในกรณีที่วัดความเข้มข้นโอดีโซน ภายในช่วงเวลา 6 ชั่วโมงหลังเติมสารละลาย สาเหตุเป็น因为ของสารอินทรีย์จะมีความสามารถทำปฏิกิริยาได้รวดเร็วกว่า การปรับแก้ค่าที่วัดได้เพื่อให้ได้ค่าที่ถูกต้องทำได้โดยวัดเทียบกับกรณีไม่ใช้ตัวอย่าง (blank)

ถ้าไม่มีการปรับแก้ค่าที่วัดได้จะมีความผิดพลาดไปจากความเข้มข้นที่แท้จริง เช่น แมลงกานีสที่ถูกโอดีโซนออกซิไดร์ที่มีความเข้มข้น 0.1 มิลลิกรัมต่อลิตรจะให้การตอบสนองเปรียบได้กับโอดีโซนเข้มข้น 0.08 มิลลิกรัมต่อลิตร คลอรินก็ส่งผลกระทบต่อการวัดเช่นกันแต่

สามารถป้องกันได้ด้วยกรดมาโนนิก ใบไม้ในสามารถเกิดมาจากการปฏิกิริยาของซีเดชัน ของ Br^- โดย 1 มลของ HOB_r จะให้ค่าเทียบได้กับโอโซน 0.4 มล)

ถ้ามีคลอรีนในตัวอย่าง ให้ใส่สารละลายกรดมาโลนิกลงในขวดก่อนเติมสารตัวอย่างจนเต็ม แล้ววัดค่าการดูดกลืนภายใน 60 นาที

4. เครื่องมือและอุปกรณ์ (Apparatus)

4.1 เครื่องวัดค่าการดูดกลืนแสง (Spectrophotometer) ที่สามารถวัดได้ที่ความยาวคลื่น 600 ± 5 นาโนเมตร

4.2 หลอดแก้ว (Glass cylinder) สำหรับกรณีใช้การสংเกตด้วยตาเปล่า ใช้หลอดแก้วขนาด 100 มิลลิลิตรที่มีก้นแบน

5. สารเคมี (Reagents)

5.1 Indigo stock solution

เตรียมได้โดยผสมน้ำกลั่น 500 มิลลิลิตรเข้ากับกรดฟอฟอริกเข้มข้น 1 มิลลิลิตร ในขวดวัดปริมาตรขนาด 1 ลิตร จากนั้นเติมไปแทนซีเมอนิดิโกไทรซัลฟเนท (*potassium indigo trisulfonate*, $C_{15}H_7N_2O_{11}S_3K_3$) ที่มีความบริสุทธิ์อยู่ละ 80-85 แล้วเติมน้ำกลั่นจนได้ปริมาตร 1 ลิตร

เมื่อนำมาเจือจางในสัดส่วน 1 ต่อ 100 แล้วนำไปวัดค่าการดูดกลืนแสงที่ความยาวคลื่น 600 นาโนเมตรจะมีค่าการดูดกลืน 0.20 ± 0.010 เซนติเมตร สารละลายที่เตรียมนี้จะอยู่ได้นาน 4 เดือนเมื่อเก็บในที่มืด และไม่ควรนำมาใช้ถ้าทดสอบแล้วพบว่าค่าการดูดกลืนเมื่อเจือจางมีค่าน้อยกว่า 0.16 เซนติเมตร

5.2 Indigo reagent I

เติม indigo stock solution 20 มิลลิลิตร โซเดียมไดไฮดรอเจนฟอสเฟต (sodium dihydrogen phosphate, NaH_2PO_4) และกรดฟอสฟอริกเข้มข้น 7 มิลลิลิตรลงไปในขวดวัดปริมาตรขนาด 1 ลิตร ละลายด้วยน้ำกลั่นจนได้ปริมาตร 1 ลิตร สารละลายนี้มีอายุการใช้งานประมาณหนึ่งสัปดาห์หรือเมื่อทดสอบด้วยการวัดค่าการดูดกลืนแสงที่ความยาวคลื่น 600 นาโนเมตรแล้วต้องมีค่าไม่น้อยกว่าร้อยละ 80 ของค่าที่วัดได้ในครั้งแรก

5.3 Indigo reagent II

เติร์ยมด้วยวิธีเช่นเดียวกับข้อ ๔. แต่เติม indigo stock solution 100 มิลลิลิตรแทนที่จะเป็น 20 มิลลิลิตร

5.4 กรดมาโนนิก (Malonic acid reagent)

เตรียมโดยละลายกรดมาโนนิก 5 กรัมในน้ำจันได้ปริมาตร 100 มิลลิลิตร

5.5 สารละลายไกลซีน (Glycine reagent)

เตรียมโดยละลายไกลซีน 7 กรัมในน้ำจันได้ปริมาตร 100 มิลลิลิตร

6. ขั้นตอนการปฏิบัติ (Procedure)

6.1 กระบวนการใช้ Spectrophotometric

6.1.1 ความเข้มข้นในช่วง 0.01 ถึง 0.1 มิลลิกรัมโโคไซนต์อลิตร

เติม indigo reagent I 10 มิลลิลิตรในขวดวัดปริมาตรขนาด 100 มิลลิลิตร จากนั้นเติมน้ำตัวอย่างที่ต้องการวัดจนได้ปริมาตร 100 มิลลิลิตร โดยมีขวดหนึ่งที่เติมน้ำกากลันเพื่อใช้เป็นตัวเบรียบเทียบ (blank) วัดค่าการดูดกลืนแสงที่ความยาวคลื่น 600 ± 5 นาโนเมตร ภายในเวลา 4 ชั่วโมงโดยควรใช้เซลล์ขนาด 10 เซนติเมตร คำนวณความเข้มข้นโโคไซนจะผลต่างระหว่างน้ำตัวอย่างกับตัวเบรียบที่เทียบ

6.1.2 ความเข้มข้นในช่วง 0.05 ถึง 0.5 มิลลิกรัมโโคไซนต์อลิตร

ปฏิบัติตามขั้นตอนในข้อ 1 แต่ใช้ indigo reagent II 10 มิลลิลิตรแทน และควรใช้ cell ขนาด 4 ถึง 5 เซนติเมตร

6.1.3 ความเข้มข้นมากกว่า 0.3 มิลลิกรัมโโคไซนต์อลิตร

ใช้ indigo reagent II แต่เจือจางน้ำตัวอย่างด้วยน้ำกากลันก่อนนำมาวิเคราะห์ (ในการตรวจปริมาตรตัวอย่างควรใช้ปีเปตที่ทำด้วยแก้ว โดยจะด้วยสารตัวอย่างก่อนใช้ และให้ปลายปีเปตอยู่ต่ำกว่าผิวน้ำ)

6.2 กระบวนการใช้การเบรียบที่ยับด้วยดาเปล่า

6.2.1 ความเข้มข้นในช่วง 0.01 ถึง 0.1 มิลลิกรัมโโคไซนต์อลิตร

เติม indigo reagent I 10 มิลลิลิตรลงในหลอดแก้วขนาด 100 มิลลิลิตร ส่องหลอด หลอดแรกเติมน้ำกากลันเพื่อใช้เป็นตัวเบรียบที่ยับ (blank) ส่วนอีกหลอดเติมน้ำตัวอย่างที่ต้องการวิเคราะห์จนมีปริมาตร 100 มิลลิลิตร จากนั้นเบรียบที่ยับสีของทั้งสองหลอดโดยการมองจากด้านบน วินสารละลายในหลอดเบรียบที่ยับออกจนกระทั่งเมื่อสีกลับคืนกับหลอดตัวอย่าง บันทึกปริมาตรของหลอดเบรียบที่ยับ โดยการเบรียบที่ยับนี้ควรทำภายใน 4 ชั่วโมงหลังการเก็บตัวอย่าง

6.2.2 ความเข้มข้นสูงกว่า 0.1 มิลลิกรัมโคลีซินต่อลิตร

หากความเข้มข้นต่อน้ำในข้อ 1 แต่เพิ่มน้ำด้วยยาสีฟันที่ต้องการวิเคราะห์เพียง 30 หรือ 45 มิลลิลิตรจากนั้นจึงเติมน้ำจนได้ 100 มิลลิลิตร

หมายเหตุ: กรณีที่น้ำด้วยยาสีฟันมีแมงกานีส ไม่ควรใช้วิธีการเปรียบเทียบด้วยตาเปล่า

7. การคำนวณ (Calculation)

7.1 กระบวนการใช้ Spectrophotometric

$$mgO_3 / L = \frac{100 * \Delta A}{f * b * V} \quad \text{ช.3}$$

โดย ΔA = ความแตกต่างระหว่างค่าการดูดกลืนของตัวอย่างกับตัวเปรียบเทียบ

b = ความกว้างของ cell (เซนติเมตร)

V = ปริมาตรของตัวอย่าง (มิลลิลิตร) (โดยทั่วไปมีค่า 90 มิลลิลิตร)

f = 0.42

ค่า f มาจากค่า sensitivity factor ที่ 20000/cm สำหรับการเปลี่ยนแปลงค่าการดูดกลืนแสดงที่ความยาวคลื่น 600 นาโนเมตรต่อโมลของโคลีซินที่เพิ่มเข้ามาต่อลิตร ซึ่งจะถูกเทียบวัด (calibrate) ด้วยการไฟเทอร์นแบบไอโอดิเมติก (iodometric)

7.2 กระบวนการใช้การเปรียบเทียบด้วยตาเปล่า

$$mgO_3 / L = \frac{(100 - V) * k}{100} \quad \text{ช.4}$$

โดย V = ปริมาตรของสารละลายมาตรฐาน (มิลลิลิตร)

k = conversion factor สำหรับ indigo stock solution เทียบวัด (calibrate) วิเคราะห์โดยการวัดค่าการดูดกลืนแสง มีค่าประมาณ 0.10 มิลลิกรัมโคลีซินต่อลิตร เมื่อเทียบจากที่สัดส่วน 1 ต่อ 100 ให้ค่าการดูดกลืนที่ 0.19 ต่อเซนติเมตร

เมื่อเติมตัวอย่างเพียงแค่ 45 หรือ 30 มิลลิลิตร ค่า conversion factor จะเป็น $2k$ หรือ $3k$ ตามลำดับ

8. ความแม่นยำ (Precision and Bias)

8.1 กระบวนการใช้เครื่องวัดค่าการดูดกลืนแสง

เมื่อไม่มีสิ่งที่มารบกวนระบบในการวิเคราะห์ ค่าความผิดพลาดจะมีค่าน้อยกว่าร้อยละ 5 โดยการทดลองในห้องปฏิบัติการอาจให้ค่าความผิดพลาดน้อยเพียงร้อยละ 1

วิธีวิเคราะห์นี้อยู่บนพื้นฐานของความแตกต่างของค่าการดูดกลืนระหว่างตัวอย่างกับตัวเปรียบเทียบ (blank) วิธีวิเคราะห์นี้ไม่เหมาะสมในการนำมาใช้กรณีสารตัวอย่างมีคลอรีน และแมงกานีส โดยที่ถ้าสัดส่วนของแมงกานีสต่อโคลินมีค่าน้อยกว่า 10 ต่อ 1 และความเข้มข้นโคลินมากกว่า 0.02 มิลลิกรัมต่อลิตร ค่าที่วัดได้จะมีความผิดพลาดประมาณน้อยกว่าร้อยละ 20

8.2 กระบวนการใช้กราฟเปรียบเทียบด้วยตาเปล่า

วิธีวิเคราะห์นี้มีค่าความเบี่ยงเบนประมาณร้อยละ 1 ถึง 1.5 แต่ไม่เหมาะสมในการนำมาใช้กรณีแมงกานีสในตัวอย่างในสัดส่วนใกล้เคียงกับโคลิน

**ศูนย์วิทยทรัพยากร
จุฬาลงกรณ์มหาวิทยาลัย**



ภาคผนวก ค
ตัวอย่างการคำนวณ

ศูนย์วิทยทรัพยากร
จุฬาลงกรณ์มหาวิทยาลัย

ภาคผนวก ค

ตัวอย่างการคำนวณ

ค.1 คำนวณความเข้มข้นของโอโซนในก๊าซที่วิเคราะห์ด้วยวิธี半batch method ต้องการโอโซน (Ozone Demand: Semi-Batch method)

วิธีการวิเคราะห์ปริมาณโอโซนด้วยวิธี半batch method คำนวณความต้องการโอโซน เป็นการวิเคราะห์ปริมาณโอโซนในก๊าซโดยอาศัยปฏิกิริยาเคมีระหว่างก๊าซโอโซนกับสารละลายบิเพรสเซียนไทโอดีเซลฟ์ที่สามารถตรวจวัดได้จากการไฟเทรตกับสารละลายโซเดียมไทด์โซเดียมไทโซลฟ์

1. การเทียบวัด (Calibration)

ในการวิเคราะห์จะต้องหาค่าความเข้มข้นของสารละลายโซเดียมไทโซลฟ์ตามมาตรฐาน (standardize) ด้วยสารละลายบิเพรสเซียนไดโครเมตที่ทราบค่าความเข้มข้นแน่นอน ตามวิธีในภาคผนวก ข.1 ตัวอย่างผลการทดลองเป็นไปตามตารางที่ ค.1

ตารางที่ ค.1 ตัวอย่างผลการทดลองการทำการทำการเทียบวัดความเข้มข้นสารละลายโซเดียมไทโซลฟ์ด้วยสารละลายบิเพรสเซียนไดโครเมต เมื่อวันที่ 15 และ 16 ก.พ. 46

วัน/เดือน/ปี	ปริมาณสารละลายโซเดียมไทโซลฟ์ (มิลลิลิตร)			
	ครั้งที่ 1	ครั้งที่ 2	ครั้งที่ 3	เฉลี่ย
15/2/46	10.2	10.1	10.2	10.2
16/2/46	10.3	10.2	10.2	10.2

จากนั้นหาค่าความเข้มข้นของสารละลายโซเดียมไทโซลฟ์ด้วยสมการ ข.5

$$\text{Normality } Na_2S_2O_3 = \frac{1}{mL \ Na_2S_2O_3 \ consumed}$$

ตัวอย่างเช่นการทำทดลองการทำการทำการเทียบวัดความเข้มข้นสารละลายโซเดียมไทโซลฟ์เมื่อวันที่ 15 กุมภาพันธ์ 2546 ใช้ปริมาณสารละลายโซเดียมไทโซลฟ์ในการไฟเทรต 10.2 มิลลิลิตร

$$\begin{aligned} \text{ความเข้มข้นของสารละลายนโซเดียมไอกอชัลเฟตมีค่า} &= \frac{1}{10.2} \\ &= 0.098 \text{ Normality} \end{aligned}$$

2. การคำนวณ

ในการคำนวณปริมาณโอดีโซนในก้าชตัวอย่าง สามารถหาได้จากสมการ ข.2

$$Ozone, mg / min = \frac{(A + B) * N * 2400}{T} \quad \text{ค.1}$$

กล่าวคือปริมาณโอดีโซนในก้าชตัวอย่างแปรผันตามปริมาตรและความเข้มข้นของสารละลายนโซเดียมไอกอชัลเฟตที่ใช้ในการไฟเกรต แต่แปรผกผันกับเวลาที่ใช้เก็บก้าชตัวอย่าง ซึ่งสามารถแสดงด้วยตัวอย่างการคำนวณได้ดังนี้

ตัวอย่างวิธีการคำนวณหาปริมาณโอดีโซนในก้าช

กำหนดให้

น้ำหนักไม้เล็กโอดีโซน	16*3 กรัมต่อมิล
ปริมาตรต่อมิลของโอดีโซน	24.45 ลิตรต่อมิล ¹
ทำการทดลองที่อัตราการไหลก้าช	28.63 ลิตรต่อนาที
ระยะเวลาที่ทำการเก็บตัวอย่าง	2 นาที

ปริมาตรสารละลายนโซเดียมไอกอชัลเฟตที่ใช้ในการไฟเกรต

ขาดเก็บตัวอย่างก้าช A	62.5 มิลลิลิตร
ขาดเก็บตัวอย่างก้าช B	6.9 มิลลิลิตร

ความเข้มข้นของสารละลายนโซเดียมไอกอชัลเฟตที่ใช้ในการไฟเกรต 0.005 N

ความหนาแน่นของอากาศ 1.2928 กรัมต่อลิตร²

¹ American Public Health Association., 1977.

² ที่อุณหภูมิ 0 องศาเซลเซียส ความดัน 1 บรรยากาศ (Perry, R. H., and Chilton, C. H., 1984.)

การคำนวณปริมาณโอโซนที่ผลิตได้ต่อหน่วยเวลา

$$\begin{aligned} \text{ปริมาณโอโซนที่คำนวณได้ตามสมการ } &= \frac{(62.5 + 6.9) * 0.005 * 2400}{2} \\ &= 416.4 \quad \text{มิลลิกรัมต่อนาที} \end{aligned}$$

$$\begin{aligned} \text{หรือเทียบเท่า} &= \frac{416.4}{1000} * 60 \\ &= 24.98 \quad \text{กรัมต่อชั่วโมง} \end{aligned}$$

$$\begin{aligned} \text{หรือเทียบเท่า} &= \frac{24.98}{1000} * 24 \\ &= 0.60 \quad \text{กิโลกรัมต่อวัน} \end{aligned}$$

ดังนั้นปริมาณโอโซนที่ผลิตได้ต่อหน่วยเวลา มีค่า 416.4 มิลลิกรัมต่อนาที หรือเทียบเท่ากับ 24.98 กรัมต่อชั่วโมง หรือเทียบเท่ากับ 0.60 กิโลกรัมต่อวัน

การคำนวณหาความเข้มข้นของโอโซนในก๊าซ (หน่วยในล้านหน่วย, ppm)

$$\begin{aligned} \text{ปริมาณโอโซนที่ผลิตได้} &= 416.4 \quad \text{มิลลิกรัมต่อนาที} \\ &= 0.4164 \quad \text{กรัมต่อนาที} \end{aligned}$$

$$\begin{aligned} \text{เทียบเท่ากับ} &= \frac{0.4164}{16 * 3} \\ &= 8.675 * 10^{-3} \quad \text{ไมลิตอนาที} \end{aligned}$$

เนื่องจากปริมาตรต่อมลของโอโซนมีค่า 24.45 ลิตรต่อมิล

$$\begin{aligned} \text{ดังนั้นอัตราการให้ผลโอโซน} &= (8.675 * 10^{-3}) * 24.45 \\ &= 0.2121 \quad \text{ลิตรต่อนาที} \end{aligned}$$

$$\begin{aligned} \text{หรือเทียบเท่า} &= \frac{0.2121}{1 * 10^{-6}} \\ &= 2.2121 * 10^5 \quad \text{ไมโครลิตรต่อนาที} \end{aligned}$$

เนื่องจากอัตราการให้ผลของก๊าซมีค่า 28.63 ลิตรต่อนาที

$$\begin{aligned} \text{ดังนั้นความเข้มข้นของโอโซนในก๊าซตัวอย่าง} &= \frac{2.121 * 10^5}{28.63} \\ &= 7.408 * 10^3 \quad \text{ไมโครลิตรต่อลิตร} \end{aligned}$$

$$= \quad 7408.31 \quad \text{ไมโครลิตรต่อลิตร}$$

$$\text{หรือเทียบเท่า} = \quad 7408 \quad \text{หน่วยในล้านหน่วย (ppm)}$$

การคำนวณหาความเข้มข้นของไอโซนในก้าช (ร้อยละโดยน้ำหนัก, %wt)

$$\begin{aligned} \text{ปริมาณไอโซนที่ผลิตได้} &= \quad 416.4 \quad \text{มิลลิกรัมต่อนาที} \\ &= \quad 0.4164 \quad \text{กรัมต่อนาที} \end{aligned}$$

เนื่องจากอัตราการไหลของก้าชมีค่า 28.63 ลิตรต่อนาที

และความหนาแน่นของอากาศมีค่า 1.2928 กรัมต่อลิตร

$$\begin{aligned} \text{อัตราการไหลของก้าช} &= \quad 28.63 * 1.2928 \\ &= \quad 37.01 \quad \text{กรัมต่อนาที} \end{aligned}$$

$$\begin{aligned} \text{ดังนั้นร้อยละโดยน้ำหนักของความเข้มข้นไอโซนในก้าชตัวอย่าง} &= \quad \frac{0.4164}{37.01} * 100 \\ &= \quad 1.12 \end{aligned}$$

ดังนั้นความเข้มข้นของไอโซนในก้าชตัวอย่างมีค่า 7407 หน่วยในล้านหน่วย (ppm) หรือเทียบเท่ากับร้อยละโดยน้ำหนัก 1.12 (%wt)

ศูนย์วิทยทรัพยากร
จุฬาลงกรณ์มหาวิทยาลัย

ค.2 การคำนวณความเข้มข้นของโอดีซินในน้ำที่วิเคราะห์ด้วยวิธี อินดิโกคอโลริเมต릭 (Indigo Colorimetric)

การวิเคราะห์ปริมาณโอดีซินในน้ำด้วยวิธีอินดิโกคอโลริเมต릭 เป็นการวัดปริมาณโอดีซินในน้ำโดยเทียบกับสีของสารละลายอินดิโกซึ่งจะจางลงเมื่อทำปฏิกิริยาเคมีกับโอดีซิน จากนั้นทำการวิเคราะห์ปริมาณโอดีซินโดยเทียบกับสีของสารละลายด้วยเครื่องวัดค่าการดูดกลืนแสง

การคำนวณปริมาณโอดีซินในน้ำต้องย่าง หลังจากอ่านค่าการดูดกลืนแสงของสารตัวอย่าง หลังทำปฏิกิริยา กับสารละลายอินดิโกแล้ว สามารถหาปริมาณโอดีซินได้จากสมการ ข.3

$$mg O_3 / L = \frac{100 * \Delta A}{f * b * V} \quad \text{ค.4}$$

กล่าวคือปริมาณโอดีซินในก้าชตัวอย่างแพรผันตามความแตกต่างระหว่างค่าการดูดกลืนแสงของสารละลายตัวอย่าง กับสารละลายเบรี่ยบเทียบ แต่แพรผันกับความกว้างของเซลล์ที่ใช้วัดค่าการดูดกลืนแสงและปริมาตรของสารละลายตัวอย่าง ซึ่งสามารถแสดงตัวอย่างการคำนวณได้ดังนี้

ตัวอย่างวิธีการคำนวณหาปริมาณโอดีซินในน้ำ

กำหนดให้

ค่าการดูดกลืนแสงของสารละลายตัวอย่าง 0.047

ค่าการดูดกลืนแสงของสารละลายเบรี่ยบเทียบ 0.040

ความกว้างของเซลล์ที่ใช้วัดค่าการดูดกลืนแสง 2 เซนติเมตร

ปริมาตรสารละลายตัวอย่างที่นำมาวิเคราะห์ 90 มิลลิลิตร

$$\begin{aligned} \text{ความแตกต่างของค่าการดูดกลืนแสง} (\Delta A) &= 0.047 - 0.040 \\ &= 0.007 \end{aligned}$$

$$\begin{aligned} \text{ปริมาณโอดีซินในน้ำ} &= \frac{100 * 0.007}{0.42 * 2 * 90} \\ &= 0.009 \text{ มิลลิกรัมโอดีซินต่อลิตร} \end{aligned}$$

ค.3 การคำนวณพารามิเตอร์ที่ใช้ในการวิเคราะห์ผลการทดลอง

ตัวอย่างวิธีการคำนวณหาร้อยละของความเข้มข้นโอดีไซน์สัมพัทธ์ในน้ำ

กำหนดให้

อัตราการไหลของก๊าซ	13.79	ลิตรต่อนาที
อัตราการไหลของน้ำ	26.51	ลิตรต่อนาที
ความเข้มข้นของโอดีไซน์ในก๊าซขาเข้าระบบท่อ	37.02	มิลลิกรัมต่อลิตร
ความเข้มข้นของโอดีไซน์ในน้ำขาเข้าระบบท่อ	0	มิลลิกรัมต่อลิตร ³
ความเข้มข้นของโอดีไซน์ในน้ำขาออกจากระบบท่อ	0.040	มิลลิกรัมต่อลิตร
ค่าคงที่ของเอนรี	3.8	(มก.ก๊าซต่อล.อากาศ)/(มก.ก๊าซต่อล.น้ำ) ⁴

หากค่าความเข้มข้นของโอดีไซน์ในก๊าซขาออกจากระบบท่อ

ให้ค่าความเข้มข้นของโอดีไซน์ในก๊าซขาออกจากระบบท่อ = x

จากสมการสมดุลมวลภายในได้สมมุติฐานว่าไม่มีการถ่ายตัวของโอดีไซน์เนื่องจากเวลาที่ของไหลอยู่ในระบบสั้นมาก ดังนั้น

$$\text{ปริมาณโอดีไซน์ที่เข้าสู่ระบบ} = \text{ปริมาณโอดีไซน์ที่ออกจากระบบ}$$

$$(13.79 * 37.02) + (26.51 * 0) = (13.79 * x) + (26.51 * 0.040)$$

$$x = \frac{(13.79 * 37.02) + (26.51 * 0) - (26.51 * 0.040)}{13.79}$$

$$x = 36.94$$

ดังนั้นความเข้มข้นของโอดีไซน์ในก๊าซขาออกจากระบบท่อ มีค่า 36.94 มิลลิกรัมต่อลิตร

หากค่าความเข้มข้นของโอดีไซน์ในน้ำขาเข้าที่สภาวะสมดุล

จากสมการที่ 4.2

$$C_{in,out} = HC_{in,out}^*$$

³ ภายในได้สมมุติฐานว่าไม่มีโอดีไซน์ละลายอยู่ในน้ำก่อนเข้าระบบท่อ

⁴ [Venosa และ Opatken, 1983 ข้างต้นใน Rice และคณะ, 1986]

$$\begin{aligned} \text{ความเข้มข้นของโอดีซินในน้ำที่สภาวะสมดุล} &= \frac{37.02}{3.8} \\ &= 9.74 \text{ มิลลิกรัมต่อลิตร} \end{aligned}$$

หาค่าร้อยละของความเข้มข้นโอดีซินสัมพัทธ์
จากสมการที่ 4.4

$$\text{ร้อยละของความเข้มข้นโอดีซินสัมพัทธ์} = \frac{\text{ความเข้มข้นของโอดีซินในของเหลว}}{\text{ความเข้มข้นของโอดีซินในน้ำที่สภาวะสมดุล}} * 100$$

$$\begin{aligned} \text{ร้อยละความเข้มข้นของโอดีซินสัมพัทธ์} &= \frac{0.040}{9.74} * 100 \\ &= 0.4107 \end{aligned}$$

ดังนั้นร้อยละของความเข้มข้นโอดีซินสัมพัทธ์ที่ความเข้มข้นโอดีซินในน้ำมีค่า 0.41 %

ตัวอย่างวิธีการคำนวณหาอัตราการถ่ายเทมวล

กำหนดให้

$$\text{อัตราการไอลของน้ำ} = 26.51 \text{ ลิตรต่อนาที}$$

$$\text{ความเข้มข้นของโอดีซินในน้ำ} = 0.040 \text{ มิลลิกรัมต่อลิตร}$$

หาค่าอัตราการถ่ายเทมวลโอดีซิน

จากสมการที่ 4.5

$$\text{อัตราการถ่ายเทมวลออดีซิน} = \text{ความเข้มข้นของโอดีซิน} * \text{อัตราการไอลของของเหลว}$$

$$\begin{aligned} \text{อัตราการถ่ายเทมวลออดีซิน} &= 0.040 * 26.51 \\ &= 1.066 \text{ มิลลิกรัมต่อนาที} \end{aligned}$$

ดังนั้นอัตราการถ่ายเทมวลออดีซินมีค่า 1.066 มิลลิกรัมต่อนาที

ตัวอย่างวิธีการคำนวณหาสัมประสิทธิ์การถ่ายเทmvรวมต่อปริมาตร

กำหนดให้

อัตราการไอลของก้าช	13.79	ลิตรต่อน้ำที่
อัตราการไอลของน้ำ	26.51	ลิตรต่อน้ำที่
ความเข้มข้นของโคลิ岑ในก้าชขาเข้าระบบท่อ	37.02	มิลลิกรัมต่อลิตร
ความเข้มข้นของโคลิ岑ในน้ำขาเข้าระบบท่อ	0	มิลลิกรัมต่อลิตร ⁵
ความเข้มข้นของโคลิ岑ในน้ำขาออกจากระบบท่อ	0.040	มิลลิกรัมต่อลิตร
ค่าคงที่ของเอนรี	3.8	(mg. ก้าชต่อล.อากาศ)/(mg. ก้าชต่อล.น้ำ) ⁶
พื้นที่หน้าตัดของวัสดุภาคของเหลว	10.48	ตารางเซนติเมตร
ความเร็วของของเหลวในระบบ	42.00	เซนติเมตรต่อวินาที

หากค่าความเข้มข้นของโคลิ岑ในก้าชขาออกจากระบบท่อ

หากค่าความเข้มข้นของโคลิ岑ในก้าชขาออกจากระบบท่อตามตัวอย่างวิธีการคำนวณหาร้อยละของความเข้มข้นโคลิ岑สัมพัทธ์ในน้ำ

ดังนั้นความเข้มข้นของโคลิ岑ในก้าชขาออกจากระบบท่อ่มีค่า 36.94 มิลลิกรัมต่อลิตร

หากค่าความเข้มข้นของโคลิ岑ในน้ำขาเข้าและขาออกจากระบบท่อที่สภาวะสมดุล

หากค่าความเข้มข้นของโคลิ岑ในน้ำขาเข้าและขาออกจากระบบท่อตามตัวอย่างวิธีการคำนวณหาร้อยละของความเข้มข้นโคลิ岑สัมพัทธ์ในน้ำ

$$\text{ดังนั้นความเข้มข้นของโคลิ岑ในน้ำขาเข้าที่สภาวะสมดุล} = \frac{37.02}{3.8}$$

$$= 9.74 \text{ มิลลิกรัมต่อลิตร}$$

$$\text{ความเข้มข้นของโคลิ岑ในน้ำขาออกที่สภาวะสมดุล} = \frac{36.94}{3.8}$$

$$= 9.72 \text{ มิลลิกรัมต่อลิตร}$$

⁵ ภายใต้สมมุติฐานว่าไม่มีโคลิ岑ละลายอยู่ในน้ำก่อนเข้าระบบท่อ

⁶ [Venosa และ Opatken, 1983 ซึ่งถึงใน Rice และคณะ, 1986]

หาค่าความแตกต่างของความเข้มข้นเฉลี่ยเชิง logarithmic
จากสมการ 4.1

$$\Delta C_{\ln} = \frac{(C_{in}^* - C_{in}) - (C_{out}^* - C_{out})}{\ln\left(\frac{C_{in}^* - C_{in}}{C_{out}^* - C_{out}}\right)}$$

โดย ΔC_{\ln} = ความแตกต่างเฉลี่ยเชิง logarithmic
 C_{in} = ความเข้มข้นของไอโอดีนในน้ำ ณ ตำแหน่งก่อนเข้าสู่ระบบห่อ^{ก๊าซ}
 C_{in}^* = ความเข้มข้นของไอโอดีนในน้ำที่สภาวะสมดุลกับความเข้มข้นไอโอดีนในก๊าซ
 ณ ตำแหน่งก่อนเข้าสู่ระบบห่อ^{ก๊าซ}
 C_{out} = ความเข้มข้นของไอโอดีนในน้ำ ณ ตำแหน่งหลังออกจากระบบห่อ^{ก๊าซ}
 C_{out}^* = ความเข้มข้นของไอโอดีนในน้ำที่สภาวะสมดุลกับความเข้มข้นไอโอดีนในก๊าซ
 ณ ตำแหน่งหลังออกจากระบบห่อ^{ก๊าซ}

ดังนั้น

$$\Delta C_{\ln} = \frac{(9.74 - 0) - (9.72 - 0.040)}{\ln\left(\frac{9.74 - 0}{9.72 - 0.040}\right)}$$

$$\Delta C_{\ln} = 9.71$$

หาปริมาตรของเหลว

$$\begin{aligned} V &= 550 * 10.48 \\ &= 5746 \quad \text{ลูกบาศก์เซนติเมตร} \\ &= 5.746 \quad \text{ลิตร} \end{aligned}$$

หาค่าอัตราการถ่ายเทมวอลไอโอดีน

หาค่าอัตราการถ่ายเทมวอลไอโอดีนตามตัวอย่างวิธีการคำนวนหาค่าอัตราการถ่ายเทมวอล

$$\begin{aligned} \text{ดังนั้นอัตราการถ่ายเทมวอลไอโอดีน} &= 0.040 * 26.51 \\ &= 1.066 \text{ มิลลิกรัมต่อนาที} \end{aligned}$$

หาสัมประสิทธิ์การถ่ายเทมวัลรวมต่อปริมาตร
จากสมการที่ 4.6

$$\frac{Q}{V} = k_L a (\Delta c)_{\ln}$$

หรือ

$$k_L a = \frac{Q/V}{(\Delta c)_{\ln}}$$

โดย Q คือ อัตราการถ่ายเทมวัล (มิลลิกรัมต่อนาที)

V คือ ปริมาตรของเหลว (ลิตร)

$k_L a$ คือ สัมประสิทธิ์การถ่ายเทมวัลรวม (ต่อนาที)

$(\Delta c)_{\ln}$ คือ ความแตกต่างเฉลี่ยเชิง logarithmic ของความเข้มข้นโซโนน

เพราะฉะนั้น

$$K_L a = \frac{1.066 / 5.746}{9.71} \\ = 0.0191 \quad \text{ต่อนาที}$$

ดังนั้นสัมประสิทธิ์การถ่ายเทมวัลต่อปริมาตรรวมมีค่า 0.0191 ต่อนาที

ศูนย์วิทยบริพาร
จุฬาลงกรณ์มหาวิทยาลัย



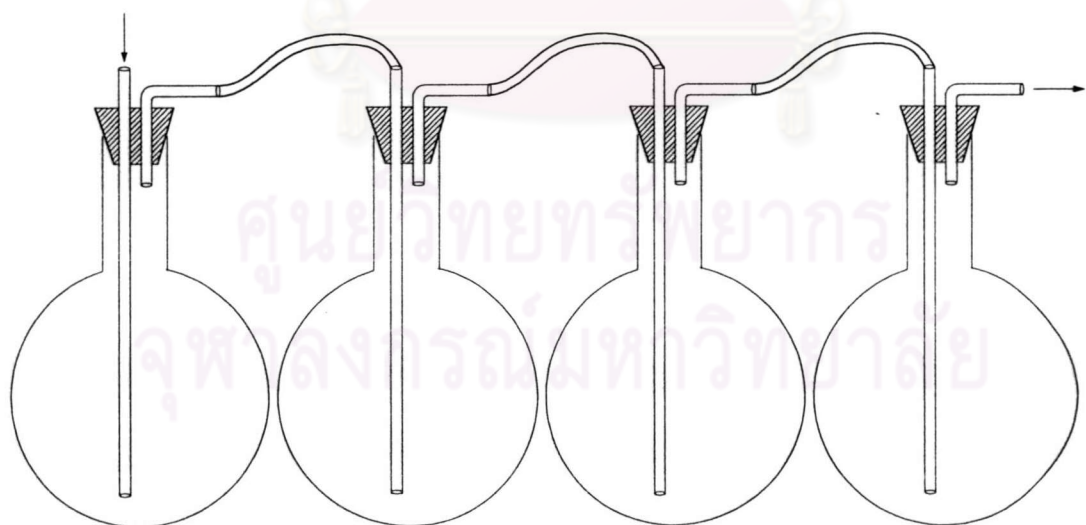
ภาคผนวก ง

การศึกษาสมรรถนะของเครื่องผลิตโอดีซิน

การศึกษาสมรรถนะของเครื่องผลิตก๊าซโอดีซิน แบ่งการทดลองออกเป็น 3 ส่วน ได้แก่ การศึกษาหาวิธีที่เหมาะสมในการนำมาใช้วิเคราะห์ปริมาณโอดีซินในก๊าซตัวอย่าง การศึกษาโดยใช้อากาศเป็นวัตถุดิบ และการศึกษาโดยใช้ก๊าซออกซิเจนเป็นวัตถุดิบ โดยปัจจัยที่จะศึกษาคืออัตราการป้อนก๊าซ

ง.1 การศึกษาหาวิธีที่เหมาะสมในการนำมาใช้วิเคราะห์ปริมาณโอดีซินในก๊าซตัวอย่าง

การศึกษาในช่วงนี้เป็นการหาวิธีที่เหมาะสมในการนำมาใช้วิเคราะห์ปริมาณโอดีซินในก๊าซตัวอย่างโดยเป็นการเบริ่ยบเทียบระหว่างวิธีอัดตราไวนิลโอลे�ตโพโตเมตริกกับวิธีหาปริมาณความต้องการโอดีซิน โดยนำขวดเก็บก๊าซตัวอย่างมาต่ออนุกรมกัน 4 ขวดเพื่อเข้าดักจับก๊าซโอดีซินดังรูปที่ ง.1 ป้อนอากาศที่สภาวะปกติ (อุณหภูมิ 25 องศาเซลเซียส ความดันบรรยายกาศ ความชื้นสัมพัทธ์ 55%) เข้าสู่เครื่องผลิตโอดีซินด้วยอัตราการไหลของก๊าซเท่ากับ 33.61 ลิตรต่อนาที วิเคราะห์ปริมาณโอดีซินที่สารละลายในขวดเก็บก๊าซตัวอย่างแต่ละขวดโดยใช้ทั้งสองวิธี ได้ผลการทดลองดังนี้



รูปที่ ง.1 ขวดเก็บก๊าซตัวอย่างสี่ขวดต่ออนุกรมกัน

ตารางที่ ง.1 ผลการวิเคราะห์ปริมาณไอโซนด้วยวิธีอัลตราไวโอลेटไฟโตเมตทริกที่ขวดเก็บตัวอย่างแต่ละขวดเก็บได้ที่อัตราการไหลก้าช 33.61 ลิตรต่อนาที

	ขวดที่ 1	ขวดที่ 2	ขวดที่ 3	ขวดที่ 4
ความเข้มข้นไอโซน (ppm)	40.66	6.53	0.75	0.07

ตารางที่ ง.2 ผลการวิเคราะห์ปริมาณไอโซนด้วยวิธีหาปริมาณความต้องการไอโซนที่ขวดเก็บตัวอย่างแต่ละขวดเก็บได้ที่อัตราการไหลก้าช 33.61 ลิตรต่อนาที

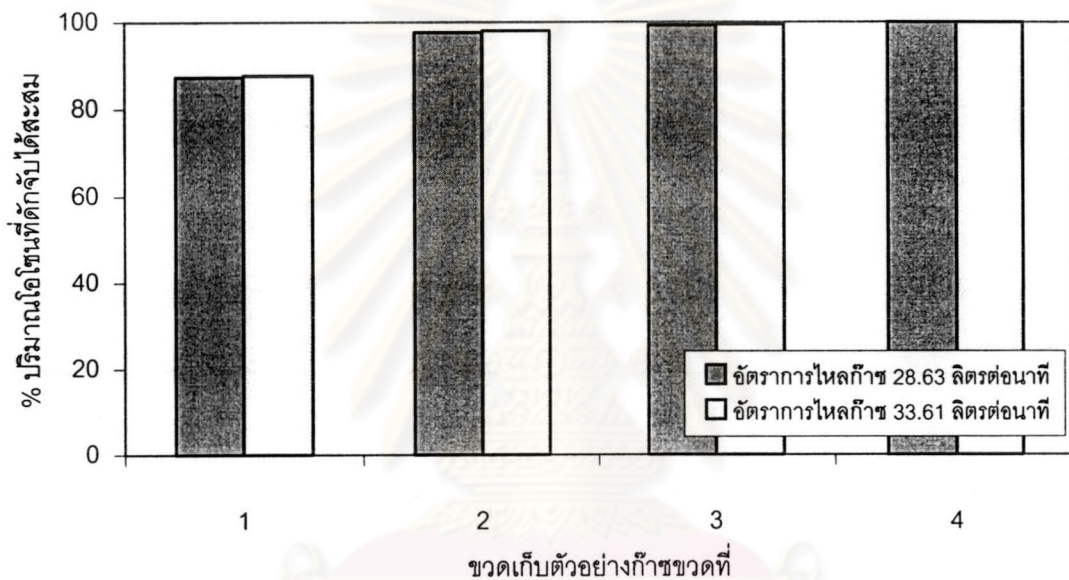
	ขวดที่ 1	ขวดที่ 2	ขวดที่ 3	ขวดที่ 4
ความเข้มข้นไอโซน (ppm)	6101	720	95	38

พิจารณาความเข้มข้นของไอโซนที่ดักจับได้จากทั้งสองวิธีจะพบว่าความเข้มข้นที่หาได้ด้วยวิธีหาปริมาณความต้องการไอโซนมีค่ามากกว่าความเข้มข้นที่หาได้จากการวิธีอัลตราไวโอลेटไฟโตเมตทริก ทั้งนี้เนื่องจากวิธีหาปริมาณความต้องการไอโซนเป็นการหาปริมาณไอโซนทั้งหมดในก้าชตัวอย่าง แต่วิธีอัลตราไวโอลेटไฟโตเมตทริกเป็นการเก็บตัวอย่างก้าชนบางส่วนมาหาปริมาณไอโซนแล้วเทียบสัดส่วนเพื่อหาปริมาณไอโซนทั้งหมดในก้าชตัวอย่าง ดังนั้นวิธีหาปริมาณความต้องการไอโซนจะให้ค่าความเข้มข้นที่เชื่อถือได้มากกว่า การทดลองในขั้นตอนไปจึงเลือกใช้วิธีหาปริมาณความต้องการไอโซนในการศึกษา

การทดลองขั้นต่อมาเป็นการหาจำนวนขวดเก็บตัวอย่างที่เหมาะสมที่จะนำมาใช้เก็บตัวอย่างก้าช โดยเมื่อพิจารณาความเข้มข้นไอโซนที่ดักจับได้ของขวดเก็บตัวอย่างที่ต่อนุกรมกันพบว่าหลังจากขวดที่ 4 แล้วความเข้มข้นไอโซนมีค่าน้อยมากจนไม่สามารถดักจับได้ จึงสมมุติให้การต่อนุกรม 4 ขวด สามารถดักจับปริมาณไอโซนได้ 100% จากนั้นคำนวนหาปริมาณไอโซนที่ดักจับได้และปริมาณไอโซนที่ดักจับได้จะสมของขวดเก็บตัวอย่างแต่ละขวดได้ผลดังตารางที่ ง.3 และนำมาเขียนกราฟปริมาณไอโซนที่ดักจับได้จะสมดังรูปที่ ง.2

ตารางที่ ง.3 ผลการวิเคราะห์ปริมาณโอมิโซนด้วยวิธีหาปริมาณความต้องการโอมิโซนที่ขาดเก็บ ตัวอย่างแต่ละขาดเก็บได้ ณ อัตราการไนลก้าช 28.63 และ 33.61 ลิตรต่อนาที

	อัตราการไนล 28.63 ลิตรต่อนาที				อัตราการไนล 33.61 ลิตรต่อนาที			
	ขาดที่ 1	ขาดที่ 2	ขาดที่ 3	ขาดที่ 4	ขาดที่ 1	ขาดที่ 2	ขาดที่ 3	ขาดที่ 4
ปริมาณโอมิโซน (กรัมต่อชั่วโมง)	23.14	2.74	0.41	0.19	24.15	2.85	0.38	0.15
% ปริมาณโอมิโซนที่ดักจับได้	87.39	10.34	1.56	0.71	87.74	10.35	1.36	0.54
% ปริมาณโอมิโซนที่ดักจับได้สะสม	87.39	97.73	99.29	100	87.74	98.09	99.46	100

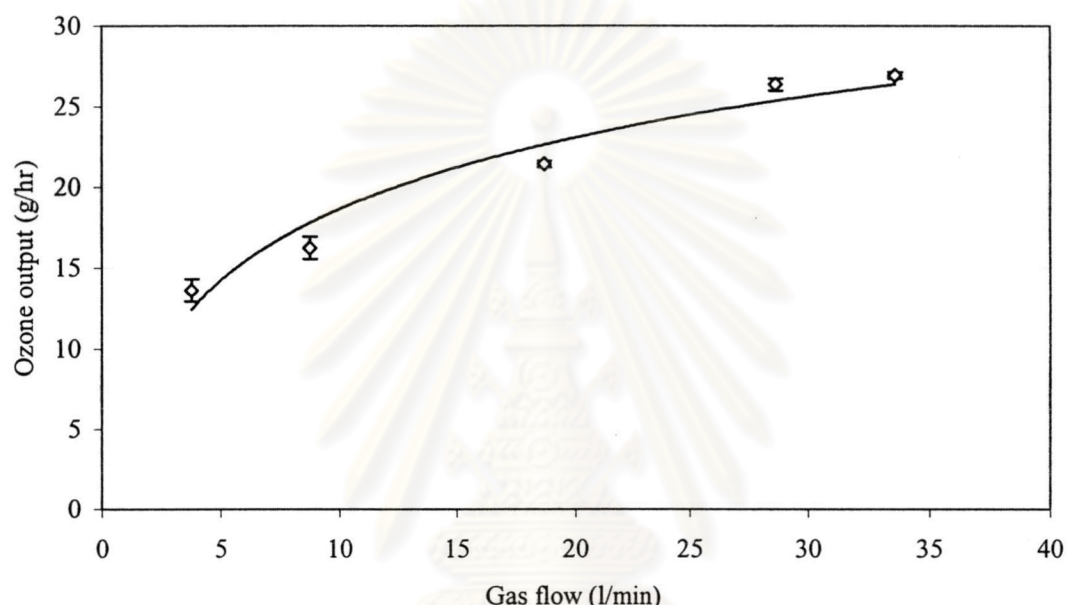


รูปที่ ง.2 ร้อยละปริมาณโอมิโซนที่ดักจับได้สะสมที่ขาดเก็บตัวอย่างแต่ละขาดเก็บได้ ณ อัตราการไนลก้าช 28.63 และ 33.61 ลิตรต่อนาที

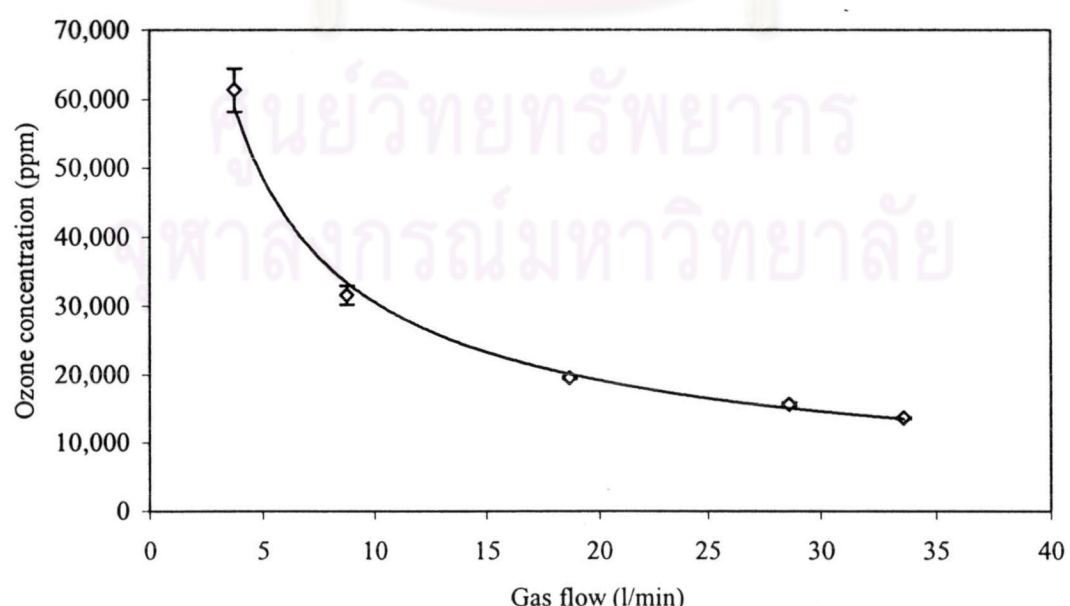
จากรูปที่ ง.2 จะเห็นว่าขาดเก็บตัวอย่างที่ 1, 2 และ 3 สามารถดักจับปริมาณโอมิโซนได้ร้อยละ 87.39, 97.73 และ 99.29 ตามลำดับ สำหรับอัตราการไนลก้าช 28.63 ลิตรต่อนาที และร้อยละ 87.74, 98.09 และ 99.46 ตามลำดับ สำหรับอัตราการไนลก้าช 33.61 ลิตรต่อนาที ดังนั้นจึงได้แนวทางในการทดลองขึ้นต่อไปว่าจะเลือกใช้ขาดเก็บตัวอย่างสองขวดต่ออนุกรมกัน เพราะสามารถดักจับก้าชโอมิโซนได้มากกว่าร้อยละ 97 ของปริมาณโอมิโซนที่อยู่ในก้าชทั้งหมด

๔.2 การศึกษาโดยใช้อากาศเป็นวัตถุดิบ

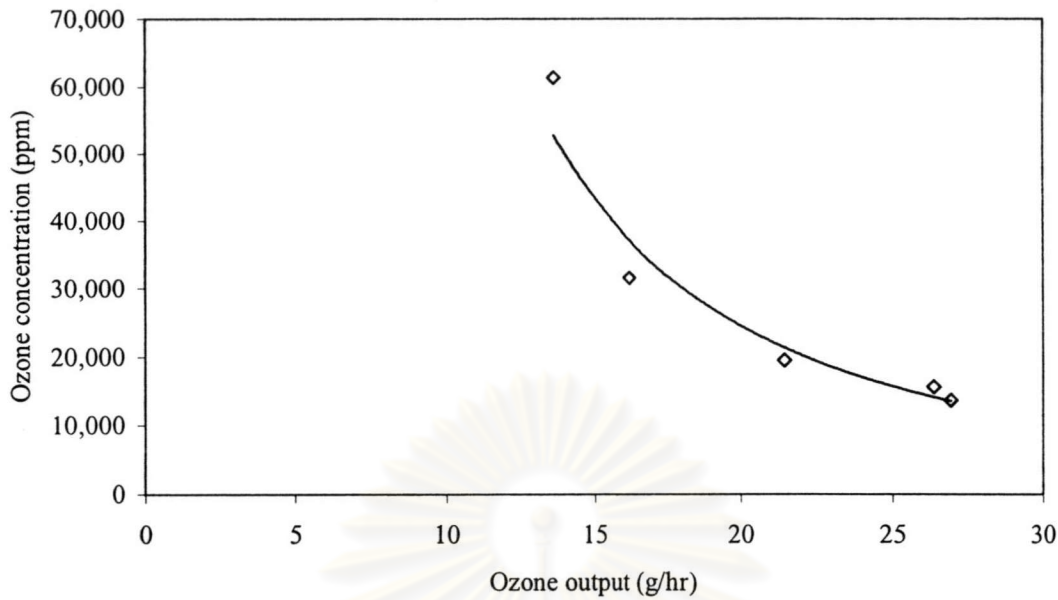
การทดลองน้ำบริมาณก๊าซโอโซนที่เครื่องผลิตโอโซนผลิตได้ ทำโดยนำขวดเก็บก๊าซตัวอย่างมาต่ออนุกรมกัน 2 ขวดเพื่อใช้ดักจับก๊าซโอโซน ที่เกิดจากการป้อนอากาศที่ส่วนภาวะปกติเข้าสู่เครื่องผลิตโอโซนโดยปรับเปลี่ยนอัตราการไหลของก๊าซ จำนวนดักจับก๊าซโอโซนด้วยขวดเก็บตัวอย่าง 2 ขวดที่ต่ออนุกรมกันแล้ววิเคราะห์น้ำบริมาณโอโซนที่สารละลายในขวดเก็บก๊าซตัวอย่างดักจับ ได้ผลการทดลองดังนี้



รูปที่ ๔.๓ ปริมาณโอโซนที่ผลิตได้ต่อหน่วยเวลา ที่อัตราการไหลของก๊าซต่างๆ เมื่อใช้อากาศเป็นวัตถุดิบ

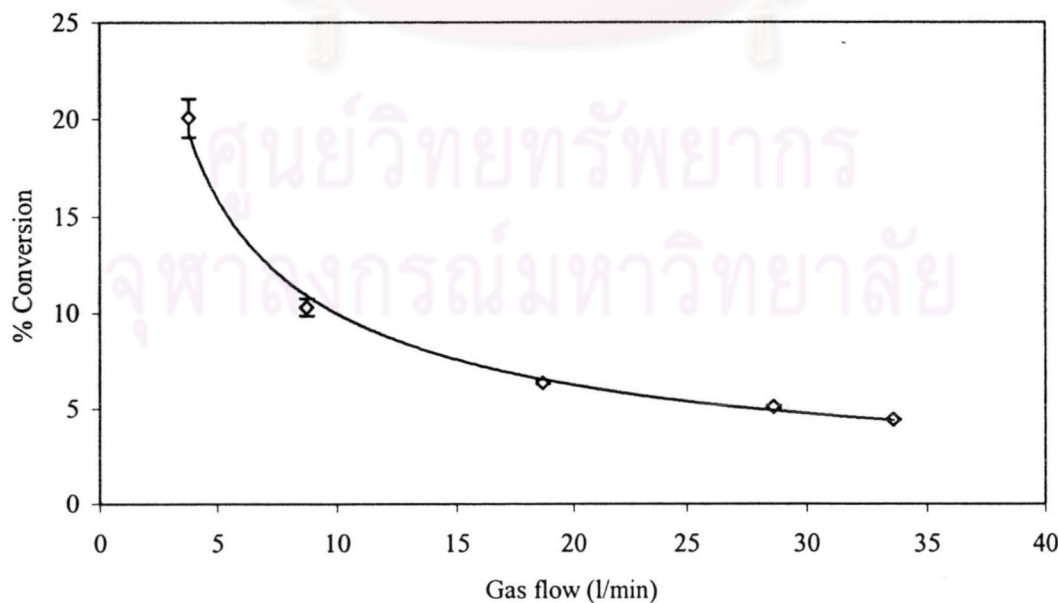


รูปที่ ๔.๔ ความเข้มข้นของโอโซนที่อัตราการไหลของก๊าซต่างๆ เมื่อใช้อากาศเป็นวัตถุดิบ



รูปที่ ง.5 ความเข้มข้นของก๊าซโอโซนที่ผลิตได้ ณ ปริมาณโอโซนที่ผลิตได้ต่อหน่วยเวลาต่างๆ เมื่อใช้อากาศเป็นวัตถุดิบ

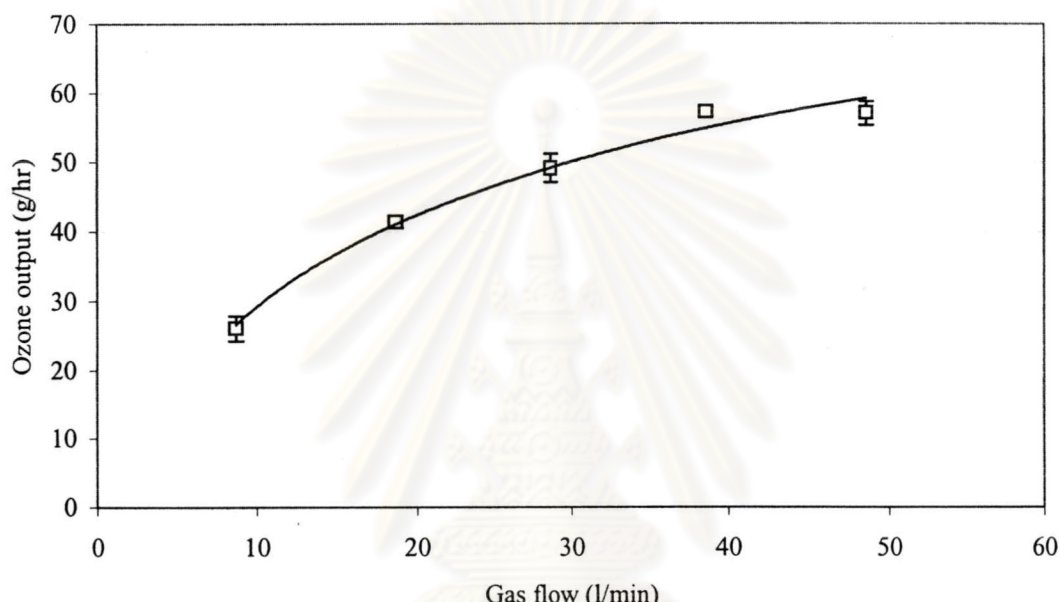
ค่าเบอร์เช็นต์ conversion ของก๊าซออกซิเจนในการผลิตก๊าซโอโซนด้วยเครื่องผลิตโอโซน เมื่อใช้อากาศเป็นวัตถุดิบสามารถแสดงได้ดังรูปที่ ง.7 โดยค่าเบอร์เช็นต์ conversion นี้เป็นค่าที่แสดงถึงสัดส่วนของปริมาณก๊าซออกซิเจนส่วนที่มีการเปลี่ยนไปเป็นก๊าซโอโซนต่อปริมาณก๊าซออกซิเจนที่ป้อนเข้าระบบห้องหมด โดยปริมาณก๊าซออกซิเจนที่ป้อนเข้าระบบหาได้จากการคำนวณโดยกำหนดให้ในอากาศที่ป้อนเข้าเครื่องมีก๊าซออกซิเจนในสัดส่วนร้อยละ 21 โดยปริมาตร



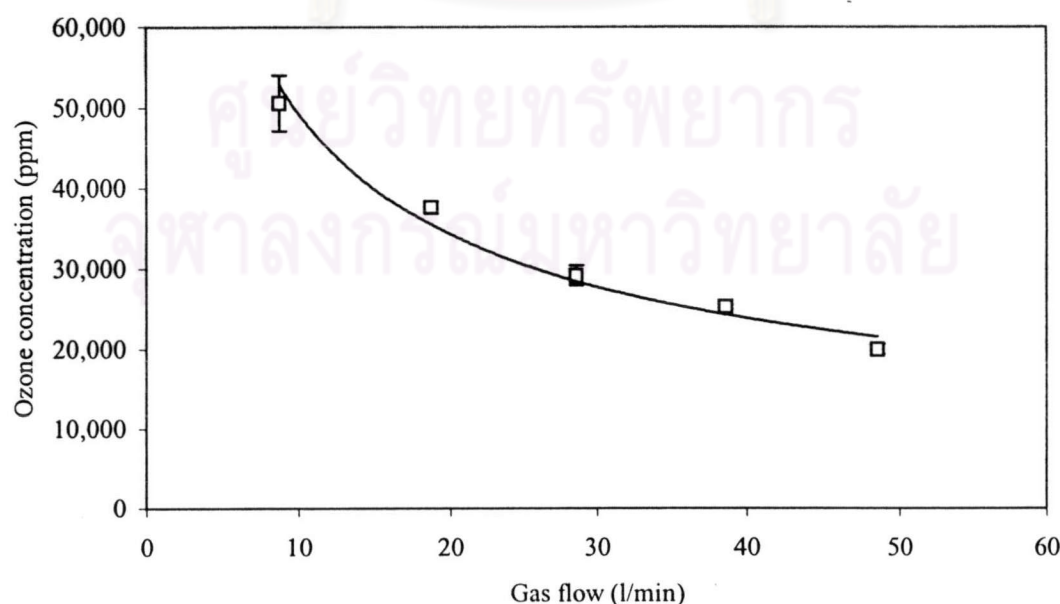
รูปที่ ง.6 เบอร์เช็นต์ conversion ของก๊าซออกซิเจนที่อัตราการไอลของก๊าซต่างๆ

๔.3 การศึกษาโดยใช้กําชออกซิเจนเป็นวัตถุดับ

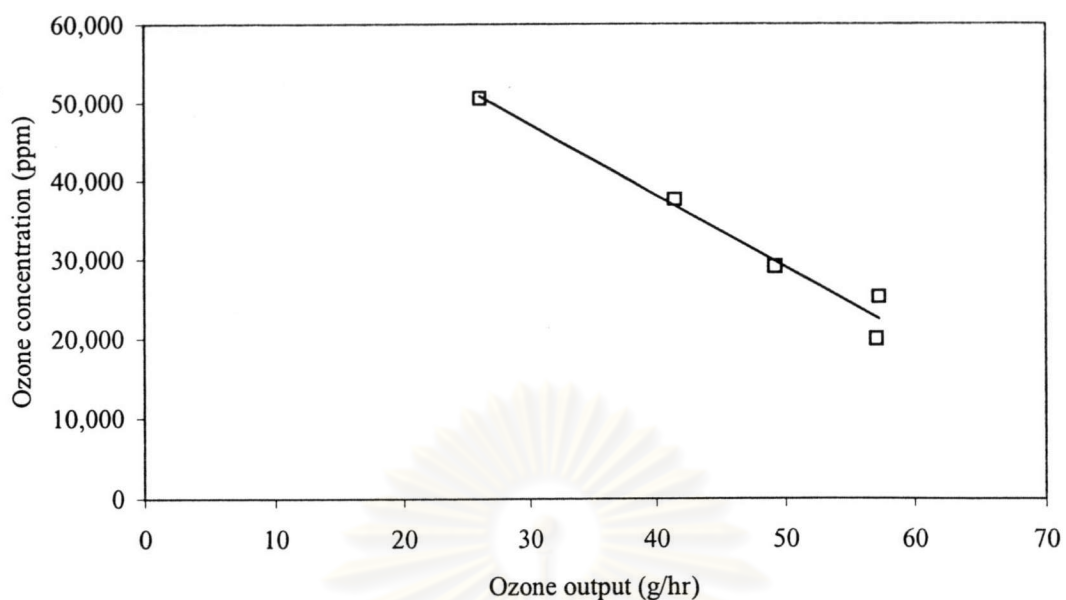
การทดลองหาปริมาณกําชไอโอดีนที่เครื่องผลิตไอโอดีนผลิตได้โดยใช้กําชออกซิเจนเป็นวัตถุดับ จะทำการป้อนกําชออกซิเจนบริสุทธิ์ร้อยละ 99.8 เข้าเครื่องผลิตไอโอดีนโดยใช้ความดันภายในถังออกซิเจนโดยตรงไม่ผ่านปั๊มอากาศ ทำการทดลองที่อุณหภูมิ 25 องศาเซลเซียส ความดันบรรยากาศ จากนั้นวิเคราะห์ปริมาณไอโอดีนที่เครื่องผลิตได้ด้วยวิธีเข่นเดียวการใช้อากาศเป็นวัตถุดับได้ผลการทดลองดังนี้



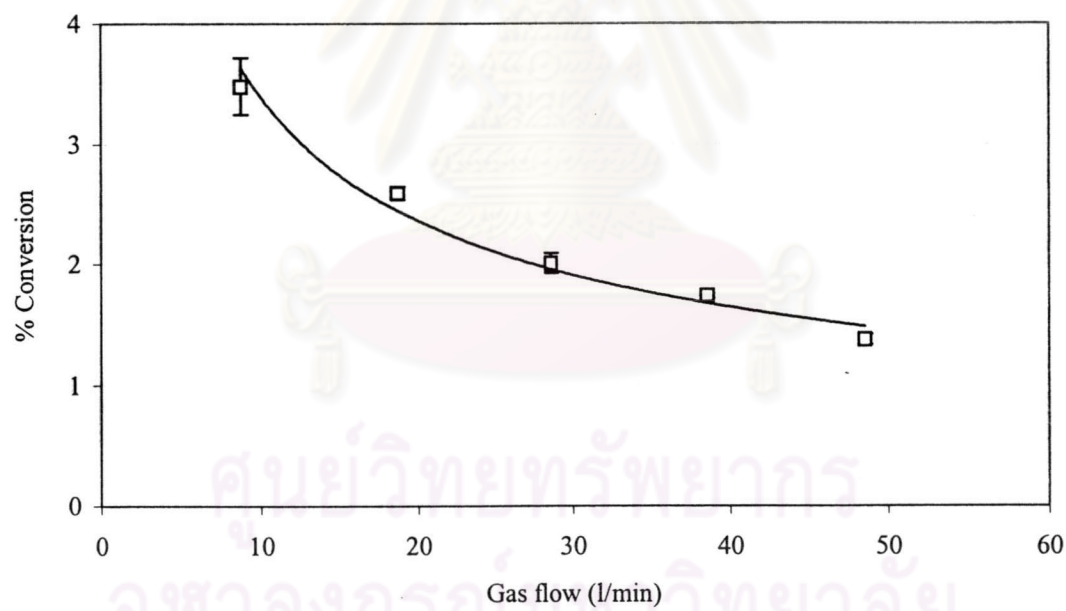
รูปที่ ๔.7 ปริมาณไอโอดีนที่ผลิตได้ต่อหน่วยเวลา ที่อัตราการไหลดของกําชต่างๆ เมื่อใช้กําชออกซิเจนเป็นวัตถุดับ



รูปที่ ๔.8 ความเข้มข้นของไอโอดีนที่อัตราการไหลดของกําชต่างๆ เมื่อใช้กําชออกซิเจนเป็นวัตถุดับ



รูปที่ ๙.๙ ความเข้มข้นของก๊าซออกซิเจนที่ผลิตได้ ณ ปริมาณออกซิเจนที่ผลิตได้ต่อหน่วยเวลาต่างๆ เมื่อใช้ก๊าซออกซิเจนเป็นวัตถุดิบ



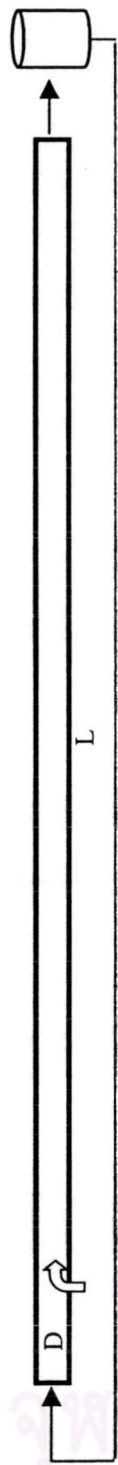
รูปที่ ๙.๑๐ เปอร์เซ็นต์ conversion ของก๊าซออกซิเจนที่อัดรวมไว้ในกล่องก๊าซต่างๆ เมื่อใช้ก๊าซออกซิเจนเป็นวัตถุดิบ



ภาควิชานวัตกรรม
ผลการทดลอง

ศูนย์วิทยทรัพยากร จุฬาลงกรณ์มหาวิทยาลัย

ตารางที่ ๑.๑ ความแม่นยำของอัตราการไหล ณ จุดบรรทัดของแต่ละตำแหน่งต่อเมื่อกำจดออกซิเจนโดยการทดสอบครั้งต่อๆ



Air flow (L/min)	Water Flow (L/min)	Air/water ratio
2.00	26.51	0.075
5.81	26.51	0.219
13.79	26.51	0.520
21.76	26.51	0.821
21.76	21.09	1.032
21.76	17.60	1.236
27.74	17.60	1.576
33.72	17.60	1.916

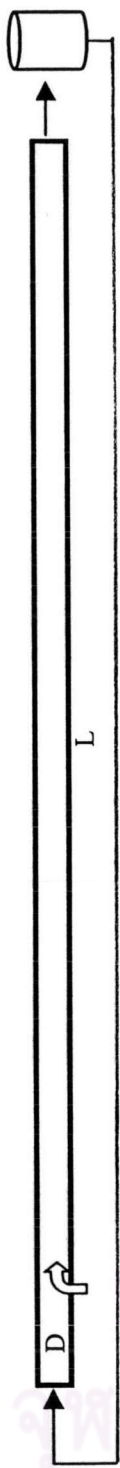
Ozone concentration (mg/l)

point distance, L (cm)	0	1	2	3	4	5	6	7	8	9	10	11	12	13	14	15
L/D	0.00	2.69	8.06	16.13	24.19	32.26	40.32	48.39	56.45	67.20	80.65	94.09	107.53	120.97	134.41	
	0	0.003	0.005	0.003	0.004	0.003	0.001	0.001	0.002	0.003	0.003	0.004	0.004	0.004	0.007	0.008
	0	0.000	0.001	0.000	0.000	0.000	0.000	0.000	0.002	0.003	0.004	0.008	0.010	0.010	0.014	0.019
	0	0.004	0.005	0.008	0.008	0.012	0.019	0.018	0.017	0.026	0.029	0.024	0.026	0.037	0.034	0.040
	0	0.001	0.003	0.001	0.002	0.001	0.004	0.007	0.009	0.011	0.012	0.012	0.016	0.022	0.016	0.019
	0	0.002	0.002	0.003	0.001	0.001	0.004	0.007	0.009	0.014	0.017	0.014	0.018	0.023	0.017	0.019
	0	0.010	0.010	0.012	0.008	0.012	0.016	0.015	0.016	0.020	0.020	0.021	0.026	0.035	0.023	0.025
	0	0.012	0.011	0.015	0.014	0.017	0.019	0.023	0.021	0.024	0.027	0.028	0.031	0.034	0.025	0.025
	0	0.008	0.007	0.004	0.006	0.004	0.007	0.014	0.012	0.018	0.020	0.019	0.028	0.022	0.019	0.020

Ozone concentration (Standard Deviation)

point distance, L (cm)	0	1	2	3	4	5	6	7	8	9	10	11	12	13	14	15
L/D	0.00	2.69	8.06	16.13	24.19	32.26	40.32	48.39	56.45	67.20	80.65	94.09	107.53	120.97	134.41	
	0	0.001	0.002	0.001	0.002	0.001	0.001	0.002	0.001	0.001	0.001	0.001	0.002	0.002	0.002	0.004
	0	0.000	0.001	0.000	0.000	0.000	0.003	0.001	0.001	0.002	0.002	0.000	0.003	0.006	0.006	0.010
	0	0.003	0.003	0.007	0.003	0.003	0.003	0.003	0.003	0.004	0.001	0.002	0.002	0.002	0.002	0.001
	0	0.001	0.002	0.000	0.002	0.001	0.004	0.006	0.002	0.002	0.001	0.000	0.000	0.000	0.000	0.002
	0	0.001	0.001	0.001	0.001	0.001	0.002	0.001	0.002	0.004	0.002	0.002	0.003	0.002	0.003	0.003
	0	0.000	0.001	0.005	0.004	0.007	0.007	0.001	0.004	0.005	0.004	0.002	0.008	0.000	0.000	0.004
	0	0.001	0.001	0.004	0.002	0.006	0.005	0.004	0.006	0.006	0.002	0.004	0.003	0.003	0.001	0.002
	0	0.003	0.002	0.000	0.002	0.004	0.001	0.003	0.001	0.003	0.001	0.001	0.001	0.003	0.003	0.003

ตารางที่ ๑.๒ ความแม่นยำของอุปกรณ์ในเรื่อง จุดเก็บตัวอย่างต่อการประเมินการมาตรฐาน

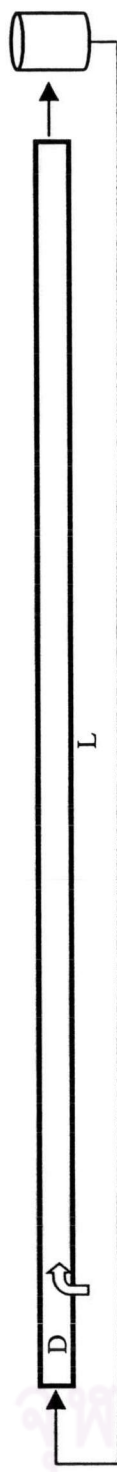


point distance,L (cm)	Ozone concentration (mg/l)														
	0	1	2	3	4	5	6	7	8	9	10	11	12	13	14
2.00	0.00	2.69	8.06	16.13	24.19	32.26	40.32	48.39	56.45	67.20	80.65	94.09	107.53	120.97	134.41
5.81	0.003	0.003	0.003	0.003	0.002	0.001	0.001	0.002	0.001	0.001	0.002	0.001	0.001	0.002	0.006
13.79	0.002	0.003	0.003	0.003	0.003	0.003	0.003	0.003	0.003	0.002	0.001	0.003	0.003	0.004	0.006
21.76	0.003	0.003	0.003	0.003	0.003	0.003	0.003	0.003	0.003	0.002	0.002	0.004	0.002	0.004	0.006
21.76	0.003	0.004	0.004	0.004	0.004	0.004	0.003	0.003	0.003	0.002	0.003	0.005	0.005	0.004	0.007
21.76	0.005	0.007	0.006	0.004	0.005	0.007	0.006	0.006	0.006	0.006	0.006	0.005	0.007	0.007	0.010
27.74	0.005	0.007	0.008	0.006	0.007	0.007	0.009	0.007	0.008	0.008	0.006	0.005	0.008	0.010	0.010
33.72	0.007	0.009	0.007	0.008	0.007	0.007	0.011	0.010	0.010	0.010	0.010	0.013	0.013	0.006	0.008

Air flow (L/min)	Water Flow (L/min)	Air/water ratio	Ozone concentration (mg/l)														
			0	1	2	3	4	5	6	7	8	9	10	11	12	13	14
2.00	26.51	0.075	0.00	2.69	8.06	16.13	24.19	32.26	40.32	48.39	56.45	67.20	80.65	94.09	107.53	120.97	134.41
5.81	26.51	0.219	0	0	0	0	0	0	0	0	0	0	0	0	0	0	0
13.79	26.51	0.520	0	0	0	0	0	0	0	0	0	0	0	0	0	0	0
21.76	21.09	1.032	0	0	0	0	0	0	0	0	0	0	0	0	0	0	0
21.76	17.60	1.236	0	0	0	0	0	0	0	0	0	0	0	0	0	0	0
27.74	17.60	1.576	0	0	0	0	0	0	0	0	0	0	0	0	0	0	0
33.72	17.60	1.916	0	0	0	0	0	0	0	0	0	0	0	0	0	0	0

point distance,L (cm)	Ozone concentration (Standard Deviation)															
	0	1	2	3	4	5	6	7	8	9	10	11	12	13	14	15
2.00	0.001	0.000	0.000	0.001	0.001	0.000	0.000	0.000	0.000	0.000	0.000	0.000	0.000	0.000	0.000	0.000
5.81	0.001	0.003	0.002	0.002	0.002	0.004	0.004	0.003	0.003	0.003	0.003	0.003	0.003	0.003	0.004	0.000
13.79	0.002	0.001	0.001	0.001	0.001	0.000	0.002	0.002	0.002	0.002	0.001	0.002	0.002	0.000	0.003	0.001
21.76	0.002	0.001	0.001	0.001	0.001	0.001	0.001	0.001	0.001	0.001	0.001	0.001	0.001	0.003	0.001	0.001
21.76	0.002	0.001	0.001	0.001	0.001	0.001	0.001	0.001	0.001	0.001	0.001	0.001	0.001	0.000	0.000	0.002
21.76	0.003	0.001	0.003	0.002	0.003	0.005	0.006	0.003	0.005	0.004	0.001	0.001	0.004	0.002	0.004	0.004
27.74	0.003	0.002	0.005	0.006	0.004	0.008	0.007	0.008	0.007	0.008	0.007	0.008	0.007	0.006	0.004	0.003
33.72	0.000	0.002	0.001	0.001	0.003	0.003	0.005	0.005	0.005	0.005	0.001	0.001	0.001	0.002	0.007	0.004

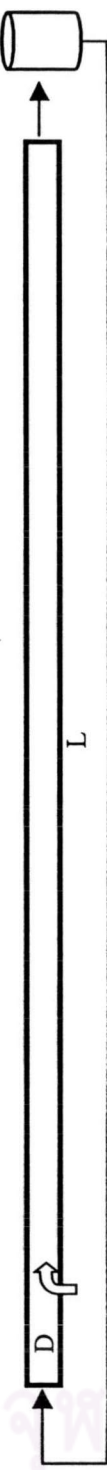
ตารางที่ จ.3 ร่องลดความเร็วชั้นของโคลนส์เพทกโนน้ำ ณ จุดเดินตัวอย่างสำหรับแต่ละค่าของค่าใช้จ่ายในการซั่งตื้น



Relative ozone concentration (%)																
point	0	1	2	3	4	5	6	7	8	9	10	11	12	13	14	15
distance,L (cm)	0	10	30	60	90	120	150	180	210	250	300	350	400	450	500	
L/D	0.00	2.69	8.06	16.13	24.19	32.26	40.32	48.39	56.45	67.20	80.65	94.09	107.53	120.97	134.41	
Air flow Water Flow Air/water ratio (L/min)	2.00	26.51	0.075	0	0.011	0.017	0.013	0.010	0.005	0.005	0.007	0.013	0.011	0.016	0.025	0.032
	5.81	26.51	0.219	0	0.002	0.005	0.002	0.002	0.016	0.019	0.029	0.052	0.054	0.064	0.090	0.126
	13.79	26.51	0.520	0	0.046	0.049	0.081	0.087	0.122	0.190	0.185	0.171	0.263	0.296	0.250	0.266
	21.76	26.51	0.821	0	0.014	0.038	0.014	0.024	0.014	0.048	0.086	0.114	0.138	0.155	0.162	0.204
	21.76	21.09	1.032	0	0.032	0.028	0.035	0.016	0.016	0.055	0.087	0.122	0.184	0.219	0.186	0.239
	21.76	17.60	1.236	0	0.128	0.124	0.162	0.110	0.155	0.207	0.197	0.214	0.259	0.262	0.269	0.297
	27.74	17.60	1.576	0	0.176	0.169	0.219	0.212	0.251	0.274	0.337	0.317	0.361	0.396	0.415	0.466
	33.72	17.60	1.916	0	0.139	0.113	0.065	0.104	0.065	0.122	0.230	0.191	0.295	0.326	0.308	0.369

Relative ozone concentration (Standard Deviation)																
point	0	1	2	3	4	5	6	7	8	9	10	11	12	13	14	15
distance,L (cm)	0	10	30	60	90	120	150	180	210	250	300	350	400	450	500	
L/D	0.00	2.69	8.06	16.13	24.19	32.26	40.32	48.39	56.45	67.20	80.65	94.09	107.53	120.97	134.41	
Air flow Water Flow Air/water ratio (L/min)	2.00	26.51	0.075	0	0.002	0.006	0.003	0.007	0.006	0.005	0.006	0.008	0.003	0.005	0.007	0.015
	5.81	26.51	0.219	0	0.002	0.007	0.002	0.002	0.017	0.002	0.007	0.005	0.012	0.012	0.020	0.037
	13.79	26.51	0.520	0	0.035	0.031	0.069	0.031	0.035	0.031	0.035	0.042	0.012	0.023	0.000	0.019
	21.76	26.51	0.821	0	0.010	0.024	0.000	0.024	0.020	0.049	0.073	0.024	0.015	0.005	0.005	0.029
	21.76	21.09	1.032	0	0.008	0.014	0.007	0.014	0.017	0.030	0.017	0.020	0.046	0.022	0.024	0.039
	21.76	17.60	1.236	0	0.005	0.020	0.063	0.063	0.049	0.093	0.088	0.015	0.049	0.068	0.049	0.024
	27.74	17.60	1.576	0	0.017	0.055	0.033	0.089	0.078	0.055	0.083	0.089	0.028	0.055	0.050	0.044
	33.72	17.60	1.916	0	0.049	0.037	0.006	0.037	0.068	0.025	0.031	0.049	0.012	0.055	0.018	0.049

ตารางที่ 4 ร่องรอยของความเรื้อรังของพิษในสัมภาระที่เก็บไว้ใน จุดเก็บตัวอย่างสำหรับการเป็นกรีซต์ฟองน้ำ



Air flow (L/min)	Water flow (L/min)	Air/water ratio
2.00	26.51	0.075
5.81	26.51	0.219
13.79	26.51	0.520
21.76	26.51	0.821
21.76	21.09	1.032
21.76	17.60	1.236
27.74	17.60	1.576
33.72	17.60	1.916

point distance,L (cm)	0	1	2	3	4	5	6	7	8	9	10	11	12	13	14	15
L/D	0.00	2.69	8.06	16.13	24.19	32.26	40.32	48.39	56.45	67.20	80.65	94.09	107.53	120.97	134.41	
0	0	0.012	0.013	0.012	0.009	0.005	0.003	0.006	0.001	0.003	0.001	0.006	0.001	0.004	0.008	
0	0	0.017	0.035	0.021	0.017	0.021	0.017	0.014	0.007	0.021	0.017	0.014	0.019	0.026	0.040	
0	0	0.019	0.027	0.022	0.016	0.024	0.027	0.035	0.024	0.027	0.035	0.030	0.041	0.062	0.057	
0	0	0.035	0.041	0.035	0.041	0.021	0.035	0.028	0.021	0.048	0.031	0.021	0.055	0.076	0.062	
0	0	0.038	0.048	0.052	0.048	0.052	0.035	0.045	0.031	0.024	0.035	0.062	0.066	0.052	0.066	
0	0	0.062	0.097	0.076	0.055	0.066	0.090	0.072	0.079	0.079	0.079	0.062	0.097	0.097	0.090	
0	0	0.113	0.143	0.122	0.130	0.117	0.109	0.182	0.156	0.156	0.169	0.165	0.204	0.217	0.096	
0	0	0.000	0.031	0.025	0.012	0.043	0.018	0.025	0.000	0.006	0.012	0.043	0.037	0.111	0.074	

point distance,L (cm)	0	1	2	3	4	5	6	7	8	9	10	11	12	13	14	15
L/D	0.00	2.69	8.06	16.13	24.19	32.26	40.32	48.39	56.45	67.20	80.65	94.09	107.53	120.97	134.41	
0	0	0.003	0.001	0.000	0.004	0.004	0.000	0.001	0.001	0.001	0.006	0.001	0.006	0.003	0.000	
0	0	0.010	0.020	0.015	0.015	0.015	0.024	0.015	0.020	0.020	0.020	0.020	0.007	0.012	0.027	
0	0	0.019	0.008	0.008	0.008	0.004	0.023	0.019	0.004	0.008	0.019	0.019	0.004	0.004	0.027	
0	0	0.005	0.029	0.015	0.000	0.000	0.020	0.010	0.015	0.010	0.005	0.000	0.039	0.010	0.010	
0	0	0.024	0.010	0.015	0.000	0.005	0.015	0.000	0.024	0.010	0.000	0.005	0.005	0.029	0.029	
0	0	0.039	0.010	0.039	0.029	0.044	0.068	0.073	0.034	0.063	0.054	0.010	0.020	0.049	0.024	
0	0	0.039	0.028	0.072	0.078	0.094	0.116	0.094	0.055	0.000	0.061	0.044	0.044	0.089	0.061	
0	0	0.000	0.031	0.025	0.012	0.043	0.018	0.025	0.000	0.006	0.012	0.043	0.037	0.111	0.074	

ตารางที่ จ.5 ความเร็วของออกไซด์เจือจางออกไซด์เจือจางในกระบวนการฟื้นฟู

Air flow (L/min)	Water Flow (L/min)	Air/water ratio	Input gas characteristic			O ₃ concentration (mg/l)				
			O ₃ concentration (%wt)	(mg/l)	O ₃ input rate (mg/min)	Gas	Water*	Gas**	Water	log-mean difference
2.00	26.51	0.075	7.885	101.94	203.88	101.94	0	101.83	0.008	26.81
5.81	26.51	0.219	4.505	58.24	338.55	58.24	0	58.10	0.030	15.29
13.79	26.51	0.520	2.864	37.02	510.34	37.02	0	36.94	0.040	9.71
21.76	26.51	0.821	2.254	29.14	633.96	29.14	0	29.11	0.019	7.65
21.76	21.09	1.032	2.254	29.14	633.96	29.14	0	29.12	0.019	7.66
21.76	17.60	1.236	2.254	29.14	633.96	29.14	0	29.12	0.025	7.65
27.74	17.60	1.576	1.984	25.65	711.51	25.65	0	25.64	0.025	6.74
33.72	17.60	1.916	1.791	23.15	780.68	23.15	0	23.14	0.020	6.08

* Assume to be 0

** Assume that no ozone decomposition

ตารางที่ จ.6 ความเร็วของออกไซด์เจือจางในกระบวนการฟื้นฟู

Air flow (L/min)	Water Flow (L/min)	Air/water ratio	Input gas characteristic			O ₃ concentration (mg/l)				
			O ₃ concentration (%wt)	(mg/l)	O ₃ input rate (mg/min)	Gas	Water	Gas	Water	log-mean difference
2.00	26.51	0.075	6.855	88.62	177.23	88.62	0	88.53	0.006	23.31
5.81	26.51	0.219	3.342	43.20	251.12	43.20	0	43.16	0.008	11.36
13.79	26.51	0.520	1.868	24.15	332.94	24.15	0	24.14	0.008	6.35
21.76	26.51	0.821	1.374	17.76	386.45	17.76	0	17.75	0.006	4.67
21.76	21.09	1.032	1.374	17.76	386.45	17.76	0	17.75	0.007	4.67
21.76	17.60	1.236	1.374	17.76	386.45	17.76	0	17.75	0.010	4.67
27.74	17.60	1.576	1.167	15.08	418.35	15.08	0	15.08	0.010	3.96
33.72	17.60	1.916	1.023	13.22	445.89	13.22	0	13.22	0.008	3.48

ตารางที่ ๗.๗ พื้นที่ผิวน้ำต่อ ความเร็วและเวลาที่อยู่ในระบบของช่องน้ำและเดลวูฟ

Air flow (L/min)	Water Flow (L/min)	Air/water ratio	Cross sectional area (cm ²)		Velocity (cm/s)		Retention time (s)
			Gas	Water	Gas	Water	
2.00	26.51	0.075	0.10	10.77	330	41	1.52
5.81	26.51	0.219	0.25	10.62	390	42	1.28
13.79	26.51	0.520	0.39	10.48	570	42	0.88
21.76	26.51	0.821	0.60	10.27	610	43	0.82
21.76	21.09	1.032	0.59	10.28	510	35	0.98
21.76	17.60	1.236	0.74	10.13	450	28	1.11
27.74	17.60	1.576	0.90	9.97	500	29	1.00
33.72	17.60	1.916	1.05	9.82	540	30	0.93
							16.67

ตารางที่ ๗.๘ ค่าเรโนลต์ในช่องน้ำและเดลวูฟ

Air flow (L/min)	Water Flow (L/min)	Air/water ratio	Reynolds number	
			Gas	Water
2.00	26.51	0.075	841	14.857
5.81	26.51	0.219	1,572	15.113
13.79	26.51	0.520	2,869	15.013
21.76	26.51	0.821	3,808	15.216
21.76	21.09	1.032	3,157	12.391
21.76	17.60	1.236	3,120	9.840
27.74	17.60	1.576	3,823	10.111
33.72	17.60	1.916	4,460	10.381

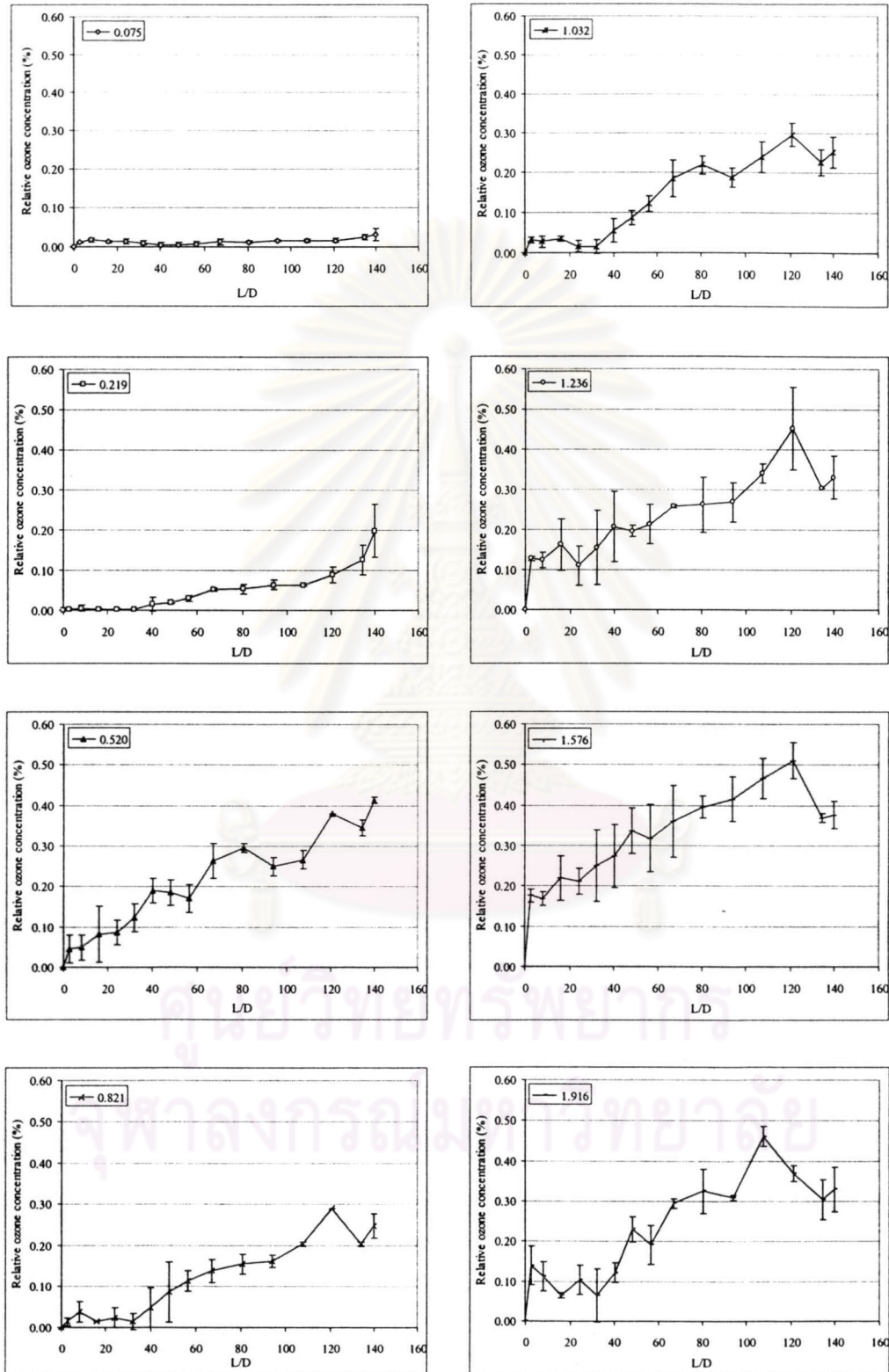
ตารางที่ จ.9 ขั้นตอนการกำจัดเมทานิวเคลียร์กากถ่ายทรายพลาสติกในชั้นดินโดยการบีบอัดและสูญเสียแก๊สออกซิเจนและการซึมตื้น

Air flow (L/min)	Water Flow (L/min)	Air/water ratio	O_3 transfer rate		k_{La}
			(mg/min)	SD*	
2.00	26.51	0.075	0.224	0.109	0.0015
5.81	26.51	0.219	0.806	0.268	0.0095
13.79	26.51	0.520	1.066	0.020	0.0201
21.76	26.51	0.821	0.505	0.060	0.0123
21.76	21.09	1.032	0.409	0.063	0.0100
21.76	17.60	1.236	0.447	0.072	0.0111
27.74	17.60	1.576	0.447	0.040	0.0128
33.72	17.60	1.916	0.354	0.059	0.0114
					0.0019

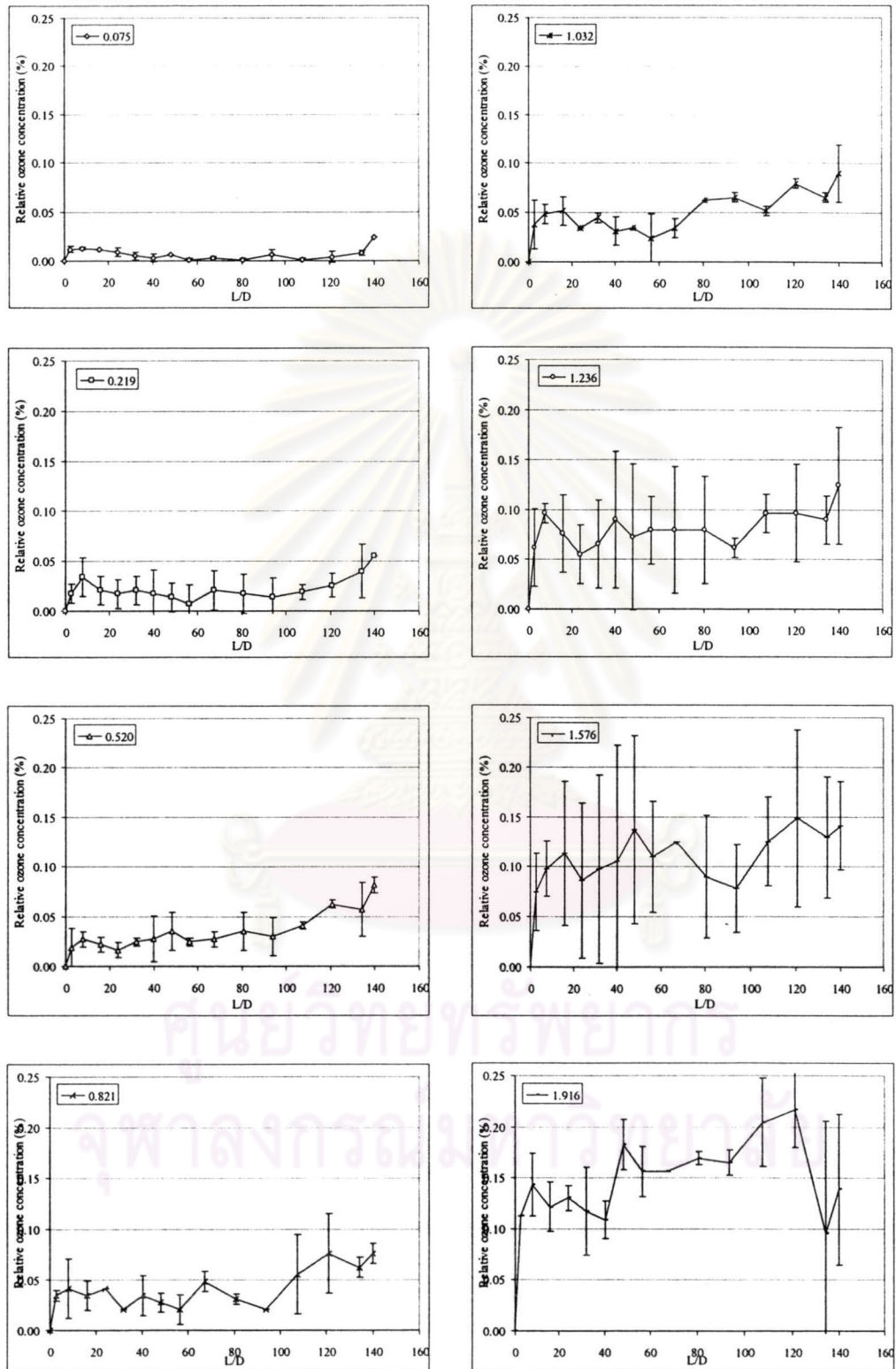
*SD = Standard Deviation

ตารางที่ จ.10 ขั้นตอนการกำจัดเมทานิวเคลียร์กากถ่ายทรายพลาสติกในชั้นดินโดยการบีบอัดและสูญเสียแก๊สออกซิเจนและการซึมตื้น

Air flow (L/min)	Water Flow (L/min)	Air/water ratio	O_3 transfer rate		k_{La}
			(mg/min)	SD	
2.00	26.51	0.075	0.168	0.000	0.0013
5.81	26.51	0.219	0.224	0.000	0.0036
13.79	26.51	0.520	0.210	0.020	0.0061
21.76	26.51	0.821	0.154	0.020	0.0062
21.76	21.09	1.032	0.145	0.047	0.0058
21.76	17.60	1.236	0.168	0.079	0.0068
27.74	17.60	1.576	0.168	0.053	0.0081
33.72	17.60	1.916	0.149	0.079	0.0084
					0.0044



รูปที่ จ.1 ผลการทดลองในหน่วยร้อยละความเข้มข้นของโอโซนสัมพัทธ์ในน้ำ ณ จุดเก็บตัวอย่าง
ตำแหน่งต่างๆ เมื่อใช้ก้าชอกซิเจนเป็นก้าชตั้งต้น



รูปที่ ๔.๒ ผลการทดลองร้อยละความเข้มข้นของโอโซนสัมพทธิ์ในน้ำ ณ จุดเก็บตัวอย่างตำแหน่งต่างๆ เมื่อใช้อากาศเป็นกําชตั้งต้น



ภาควิชานวัต
ภาคอุปกรณ์ทดลอง

ศูนย์วิทยทรัพยากร
จุฬาลงกรณ์มหาวิทยาลัย

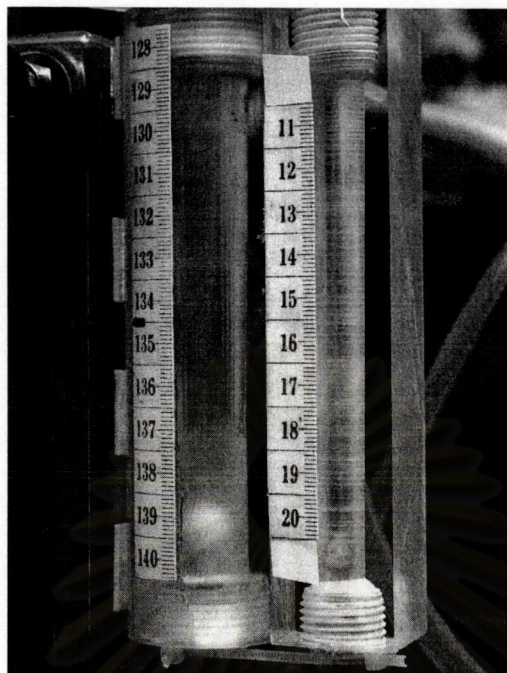
ภาคผนวก ฉ
ภาพอุปกรณ์ทดลอง



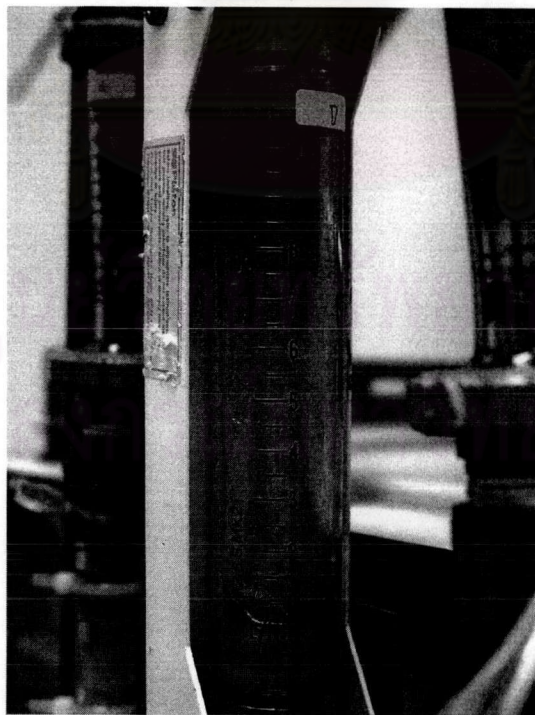
รูปที่ ฉ.1 ห้องที่ใช้ทำการทดลอง



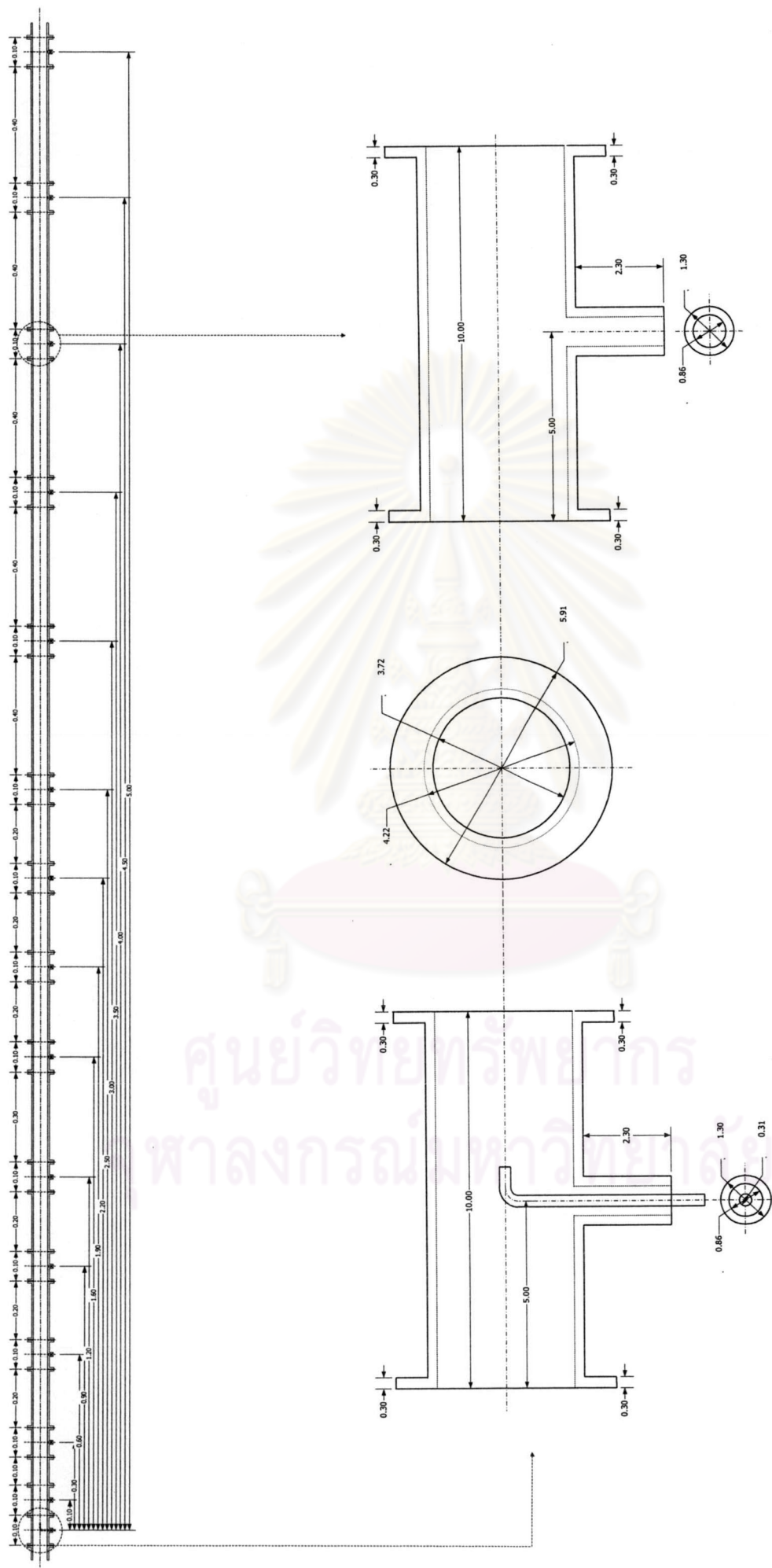
รูปที่ ฉ.2 เครื่องผลิตไออกซินที่ใช้ในการทดลอง



รูปที่ ฉ.3 อุปกรณ์วัดอัตราการให้ผลของก้าช



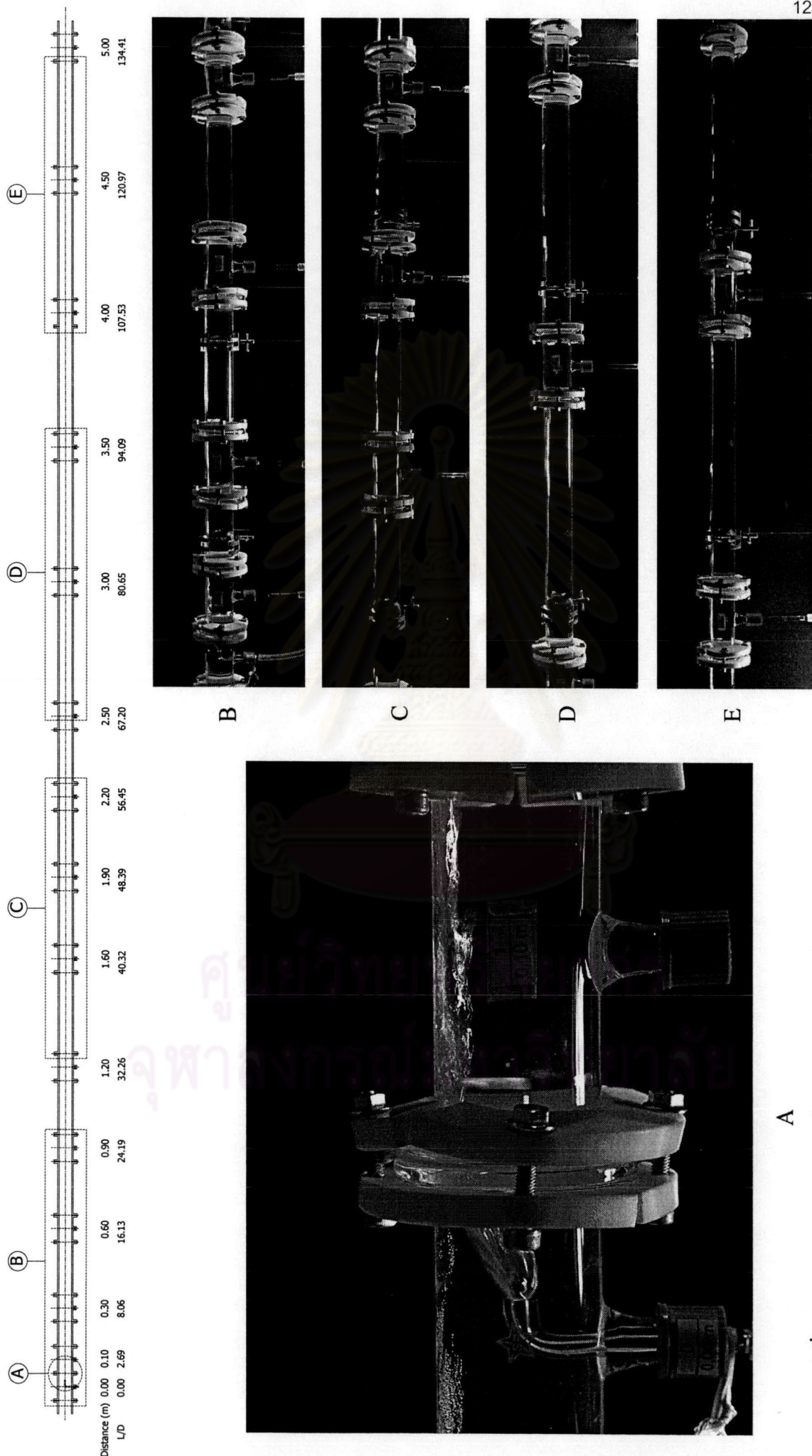
รูปที่ ฉ.4 อุปกรณ์วัดอัตราการให้ผลของของเหลว



ຮູບທີ ៧.៥ ແຜນເປົ້າກ່ອທິກ່າວດຕອງ

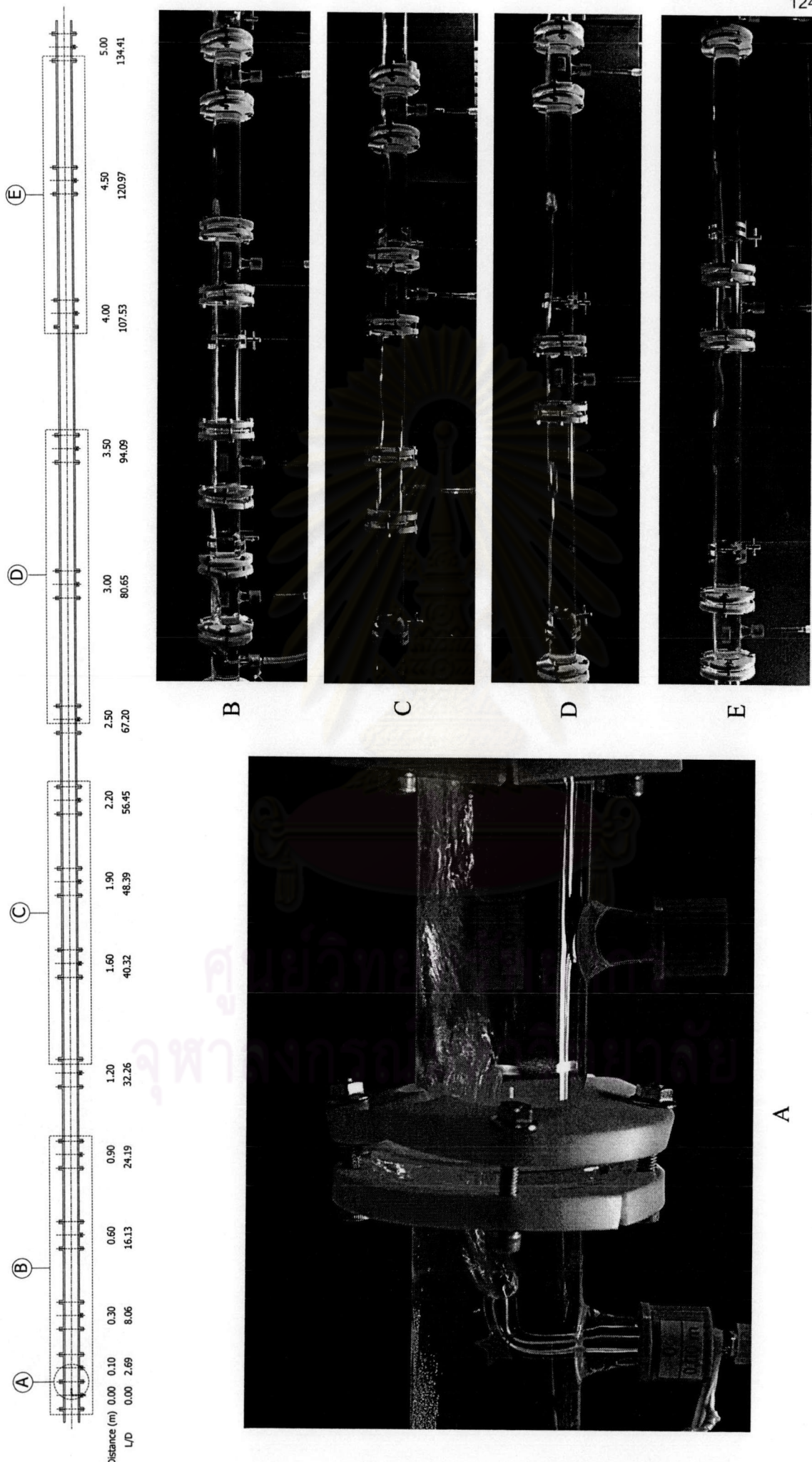
ภาคผนวก ๗
ภาพแสดงรูปแบบการให้ผล

ศูนย์วิทยทรัพยากร
จุฬาลงกรณ์มหาวิทยาลัย

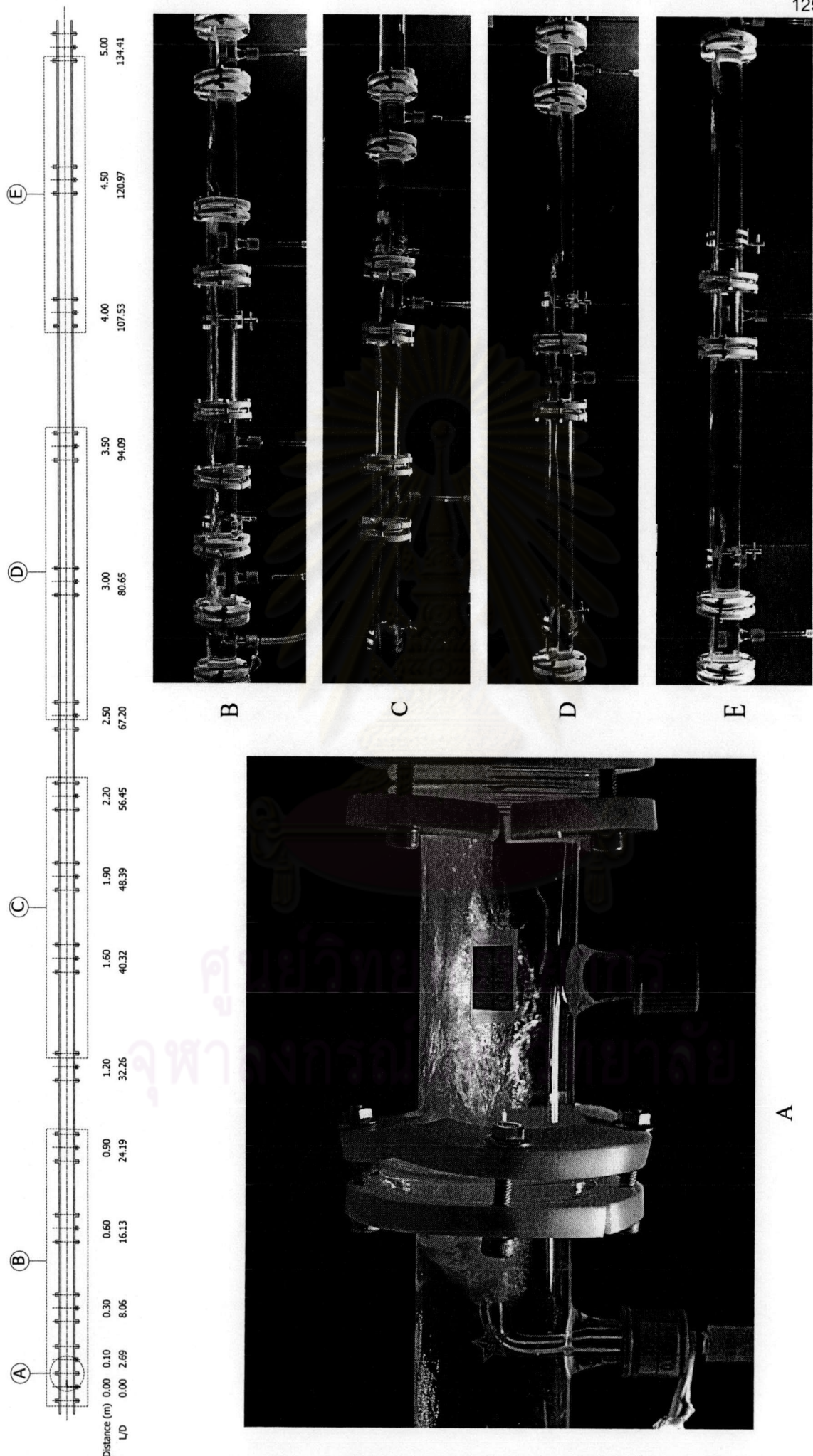


รูปที่ ช.1 ก้าพและแสดงรูปแบบของ "หลังสำหรับอุตสาหกรรม" ขนาดความกว้างซี่ต่อกันอย่างเหลว 0.075

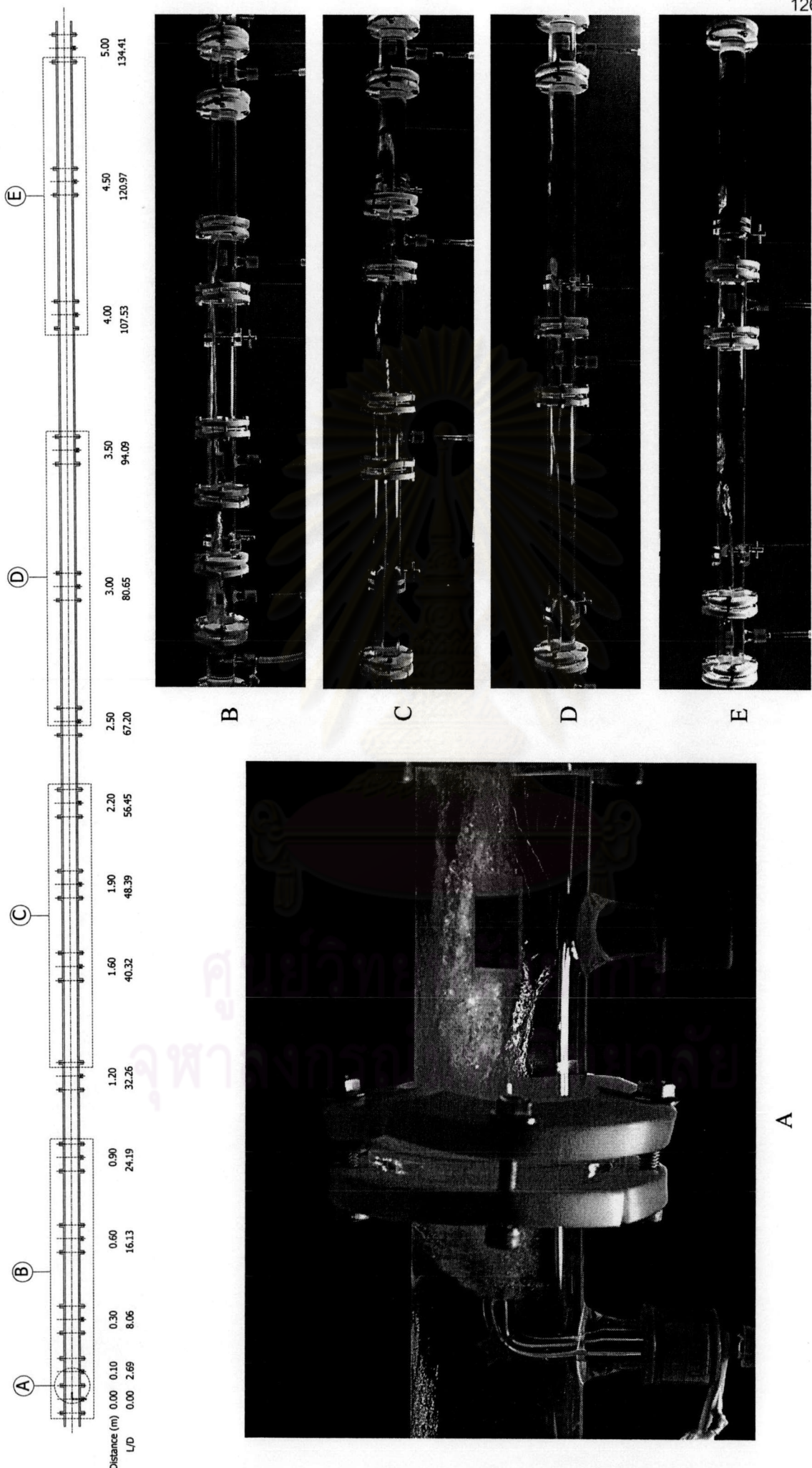
A



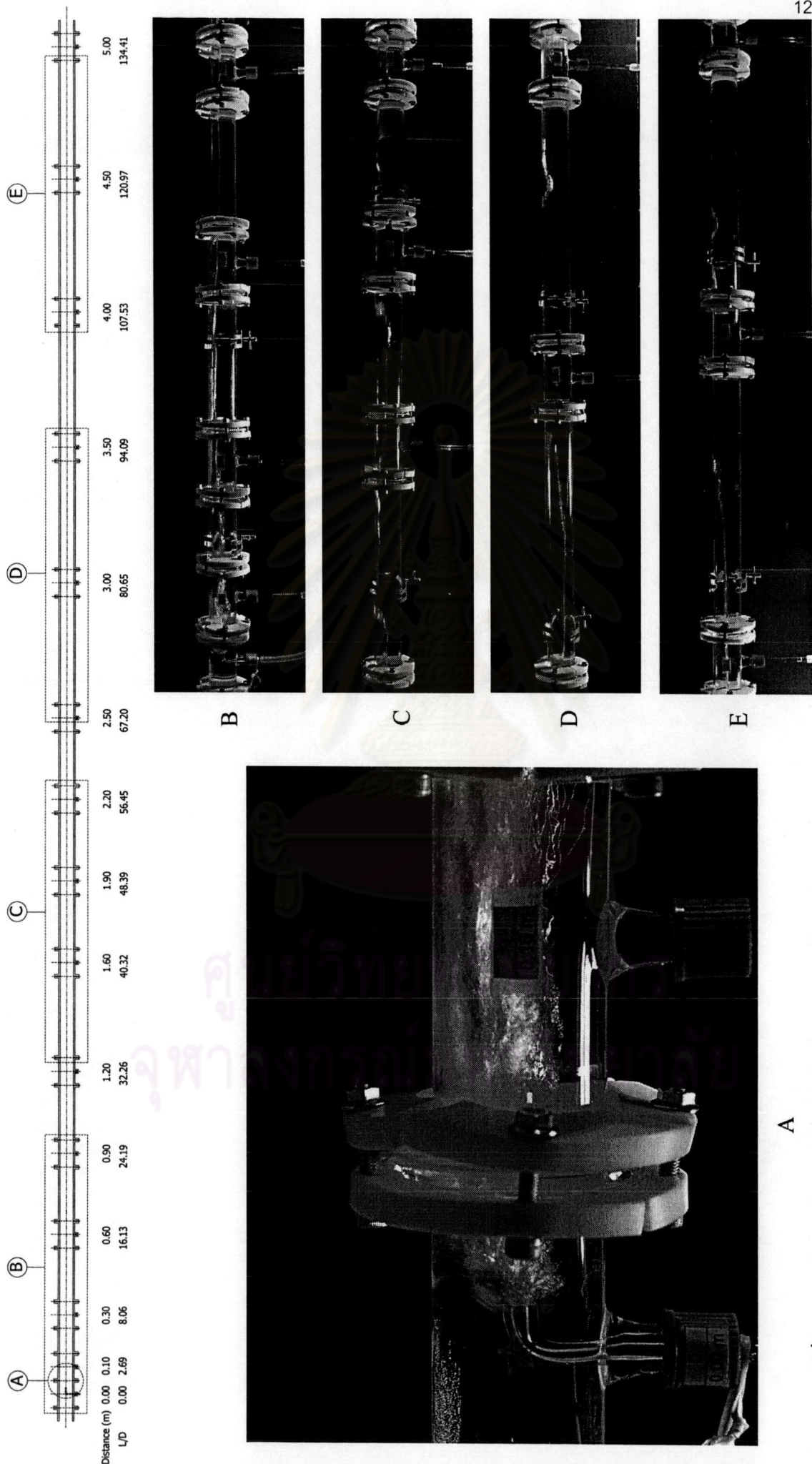
รูปที่ ๗.๒ ก้าวแสดงถึงแบบการประกอบสำหรับอัตราส่วนก้าวต่อขั้นของเหลว ๐.๒๑๙



รูปที่ ๗.๓ ภาพแสดงรูปแบบการให้หลักสำหรับอัตราส่วนการต่อของเหตุ ๐.๕๒๐

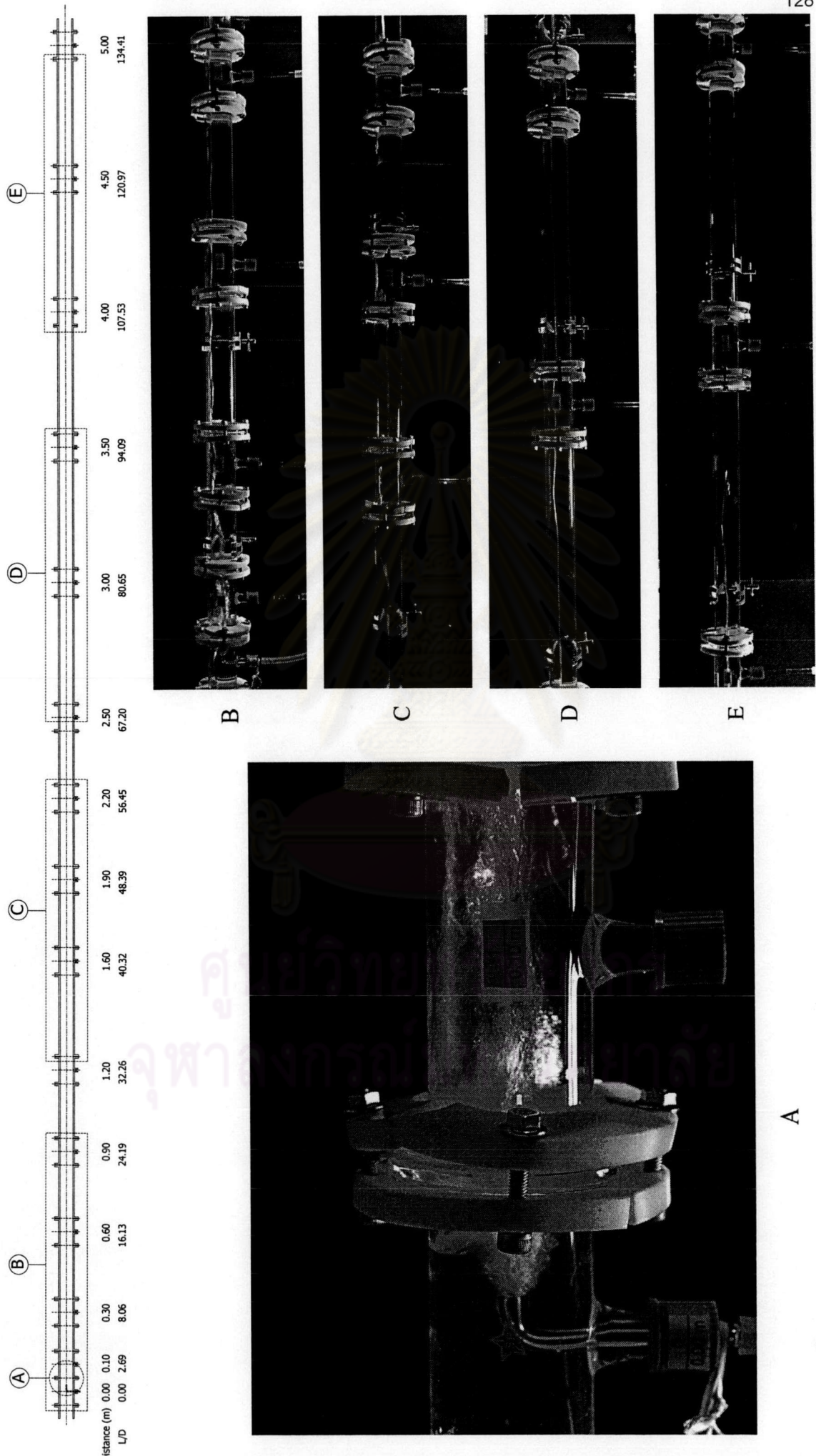


รูปที่ ๗.๔ ภาพแสดงรูปแบบการประกอบสำหรับติดตั้งชุดไนท์กาน้ำท่อของเหตุว 0.821



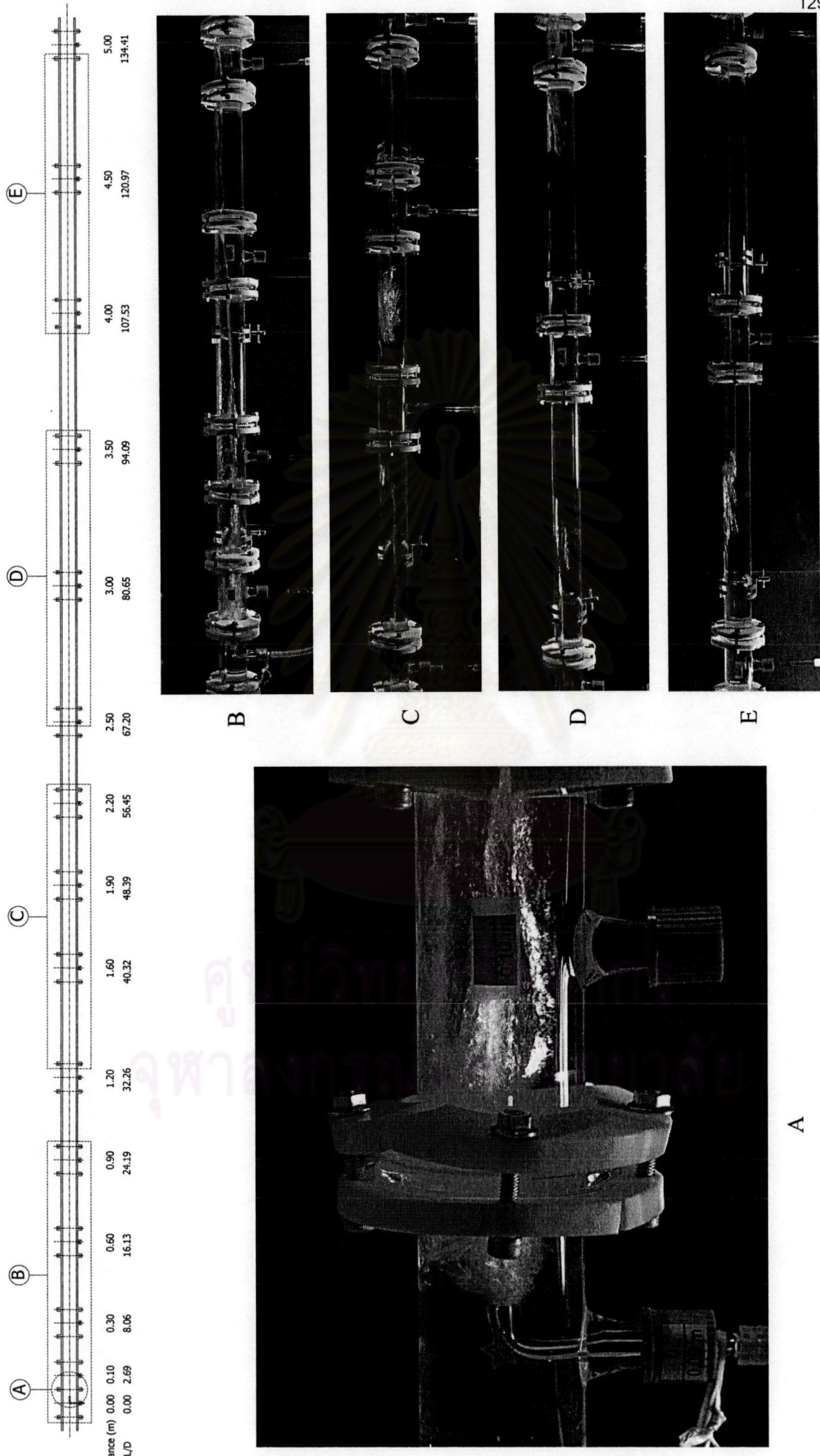
รูปที่ ๗.๕ ภาพแสดงถูกแบบการหนอลำสำหรับอุตสาหกรรมการซ่อมแซมห้อง 1.032

A



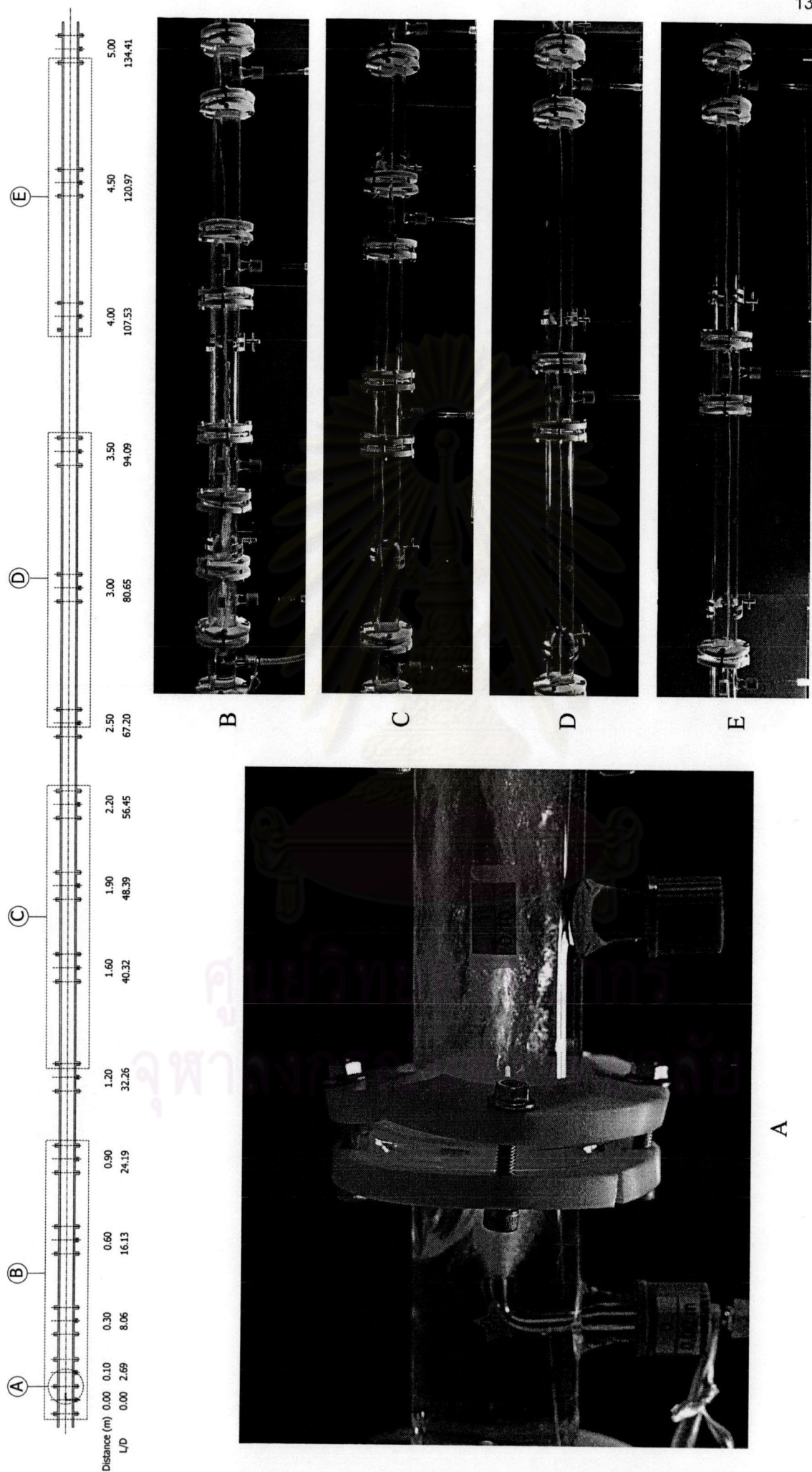
รูปที่ 7.6 ภาพแสดงขั้นตอนการประกอบสำหรับติดตั้งงานก้าวต่อขั้นเหลว 1.236

A



รูปที่ ๗.๗ ภาพแสดงถูกแบบการแก้ผลสำหรับอัตราส่วนก้าวต่อของเหลว ๑.๕๗๖

A



รูปที่ ช.8 ภาพแสดงรูปแบบการหànหล่อสำหรับอุตสาหกรรมกําชัตอุปกรณ์ทางการเกษตร 1.916

A

ประวัติผู้เขียนวิทยานิพนธ์

นายกฤษฎี ลิลิตกากรตฤณ เกิดเมื่อวันที่ 15 ธันวาคม พ.ศ. 2521 ที่อำเภอเมือง จังหวัดมหาสารคาม สำเร็จการศึกษาระดับมัธยมศึกษาจากโรงเรียนเตรียมอุดมศึกษาในปีการศึกษา 2538 จากนั้นเข้าศึกษาบริณญาติวิศวกรรมศาสตรบัณฑิต สาขาวิศวกรรมเคมี ที่คณะวิศวกรรมศาสตร์ จุฬาลงกรณ์มหาวิทยาลัยจนสำเร็จการศึกษาในปีการศึกษา 2542 และได้เข้าศึกษาต่อในหลักสูตรวิศวกรรมศาสตรบัณฑิต สาขาวิศวกรรมเคมี ที่คณะวิศวกรรมศาสตร์ จุฬาลงกรณ์มหาวิทยาลัย ในสาขาวิชาเคมีสิ่งแวดล้อมและความปลอดภัย ในปีการศึกษา 2543

